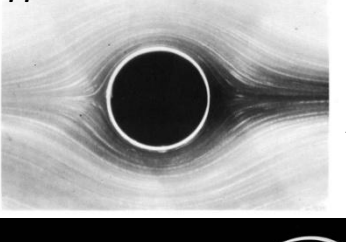
#### Глазунов А.В.<sup>1,2</sup>

# Процессы в пограничном слое атмосферы и их описание в моделях

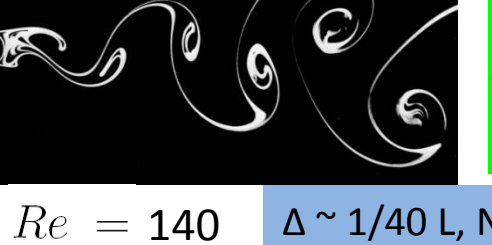
- 1) Институт вычислительной математики РАН
- 2) Лаборатория суперкомпьютерного моделирования природно-климатических процессов НИВЦ МГУ

Обтекание кругового цилиндра, визуализация лабораторных экспериментов Ван-Дайк. Альбом течений жидкости и газа



$$Re = 0.16$$

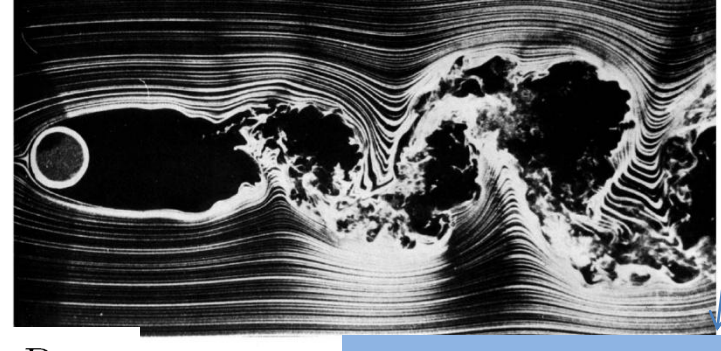




 $\Delta \sim 1/40 \text{ L, N} \sim 10^4$ 



 $\Delta \sim 1/300 L$ , N  $\sim 10^8$ 2000 Re =



Re = 10000

 $\Delta \sim 1/1000 \text{ L, N} \sim 10^9$ 

$$Re = rac{UL}{(
u/
ho_0)}$$
 Число Рейнольдса

$$ilde{\eta} = \eta/L$$
  $ilde{\eta} = O(Re^{-3/4})$  Вязкий масштаб длины (размер минимальных вихрей)

Обезразмеренные уравнения Навье-Стокса:

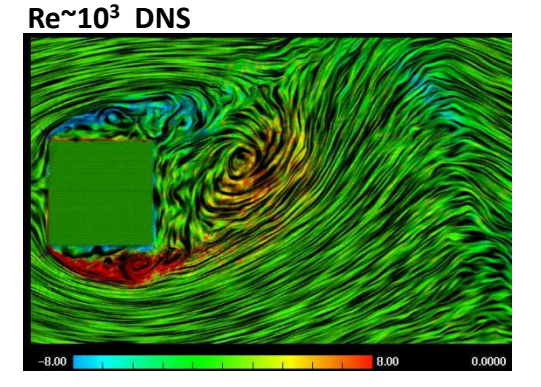
$$\frac{\partial u_i}{\partial t} = -\frac{\partial u_i u_j}{\partial x_j} - \frac{\partial p}{\partial x_i} + \frac{1}{Re} \frac{\partial^2 u_i}{\partial x_j \partial x_j} + F_i^e,$$

Турбулентность -"...завихренное течение с очень большим числом возбужденных степеней свободы и с хаотическим распределением дисперсионных соотношений и фазовых сдвигов" (А.С. Монин)

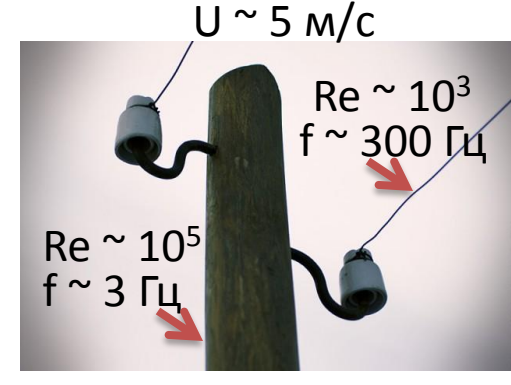
Шаг сетки численной модели и число расчетных узлов

#### При очень больших числах Рейнольдса

основные статистические характеристики течения перестают зависеть от Re



A. Veldman, University of Groningen, http://www.math.rug.nl/~veldman/

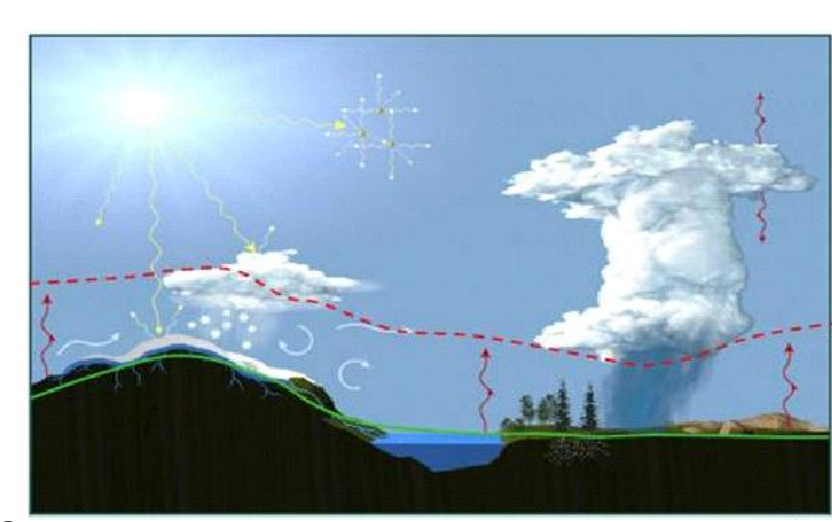


St=f L/U~const~0.2

f~0.2 U/L

# Особенности турбулентных процессов в геофизических пограничных слоях

Атмосферный пограничный слой  $H_{ABL}\sim 10^2$  -  $10^3$  м Верхний пограничный слой океана  $H_{UOL}\sim 10^1$  -  $10^2$  м Придонный пограничный слой океана  $H_{OBL}\sim 10^0$  -  $10^1$  м

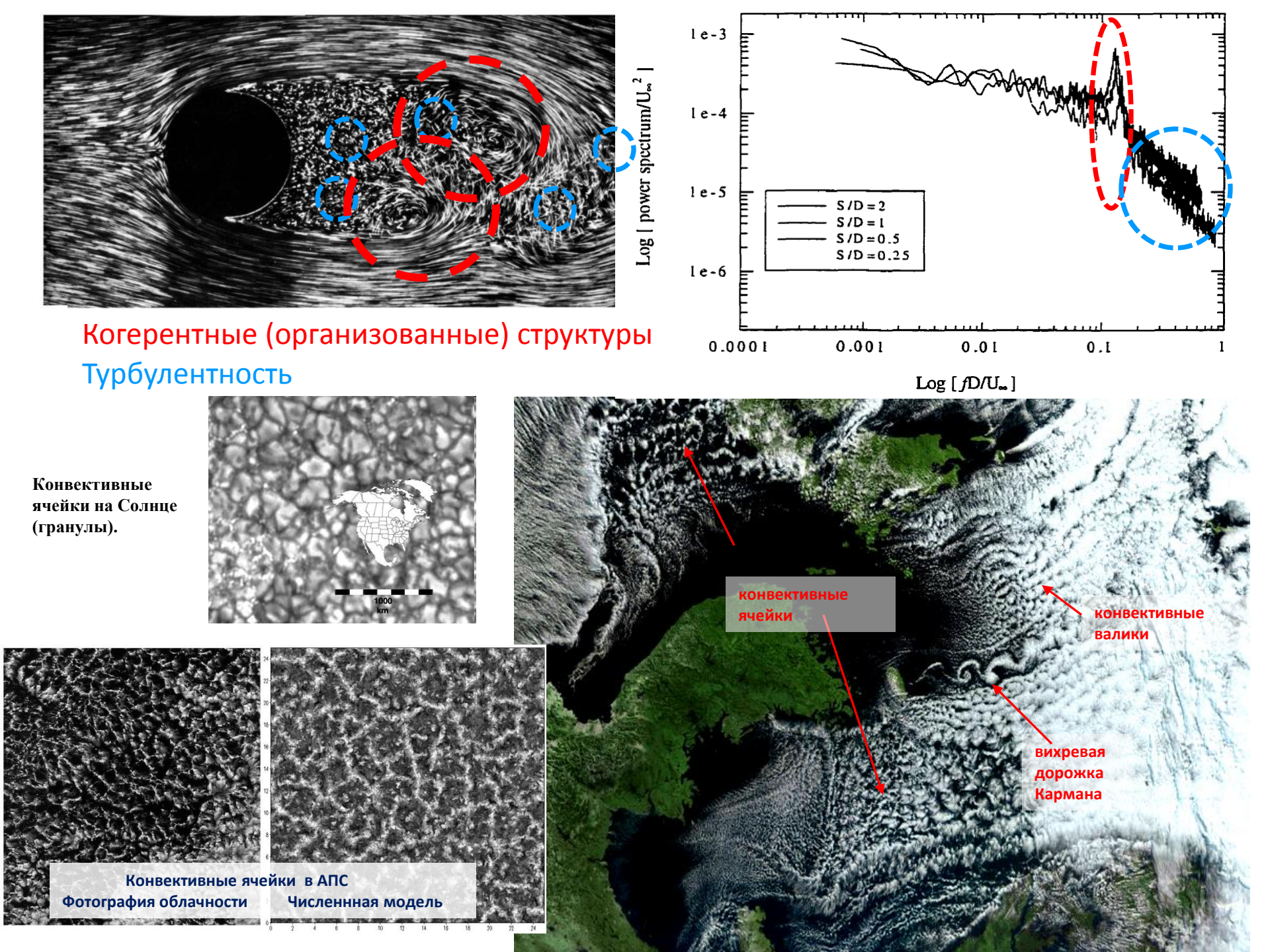


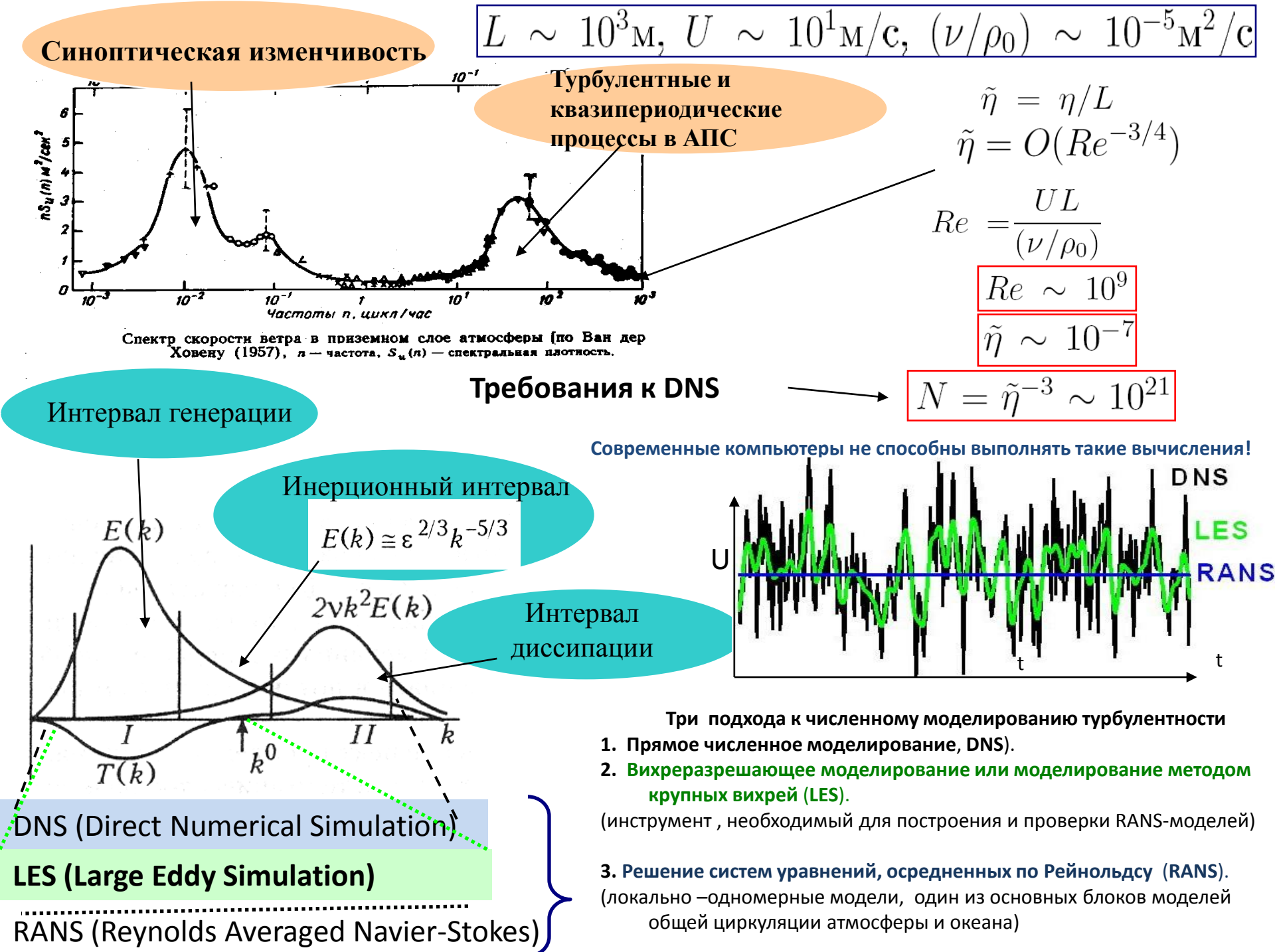
- Стратификация
- Солнечная радиация
- Наличие облачности и фазовые переходы в АПС
- Сильно шероховатая орографически и гидрологически неоднородная поверхность в АПС

•••

Очень большие числа Рейнольдса

Атмосферный пограничный слой -  $Re \sim 10^9$  Верхний слой океана -  $Re \sim 10^6$ - $10^7$  Придонный слой океана -  $Re \sim 10^5$ - $10^6$ 





$$\frac{\partial u_i}{\partial t} = -\frac{\partial u_i u_j}{\partial x_j} - \frac{\partial p}{\partial x_i} + \frac{1}{Re} \frac{\partial^2 u_i}{\partial x_i \partial x_j} + F_i^e, \ \ \text{Система уравнений Навье-Стокса для вязкой несжимаемой жидкости или газа.}$$
 Прямое численное моделирование

$$\frac{\partial u_i}{\partial x_i} = 0, \tag{DNS}$$

$$F(a(x,t))\equiv \overline{a}(x,t)=\int_{R^3}G(x-x',\Delta_f)a(x',t)dx'$$
 Фильтрация по пространству  $\overline{\partial a(x,t)}=rac{\partial \overline{a}(x,t)}{\partial x_i}=rac{\partial \overline{a}(x,t)}{\partial t}; \quad \overline{\partial a(x,t)}=rac{\partial \overline{a}(x,t)}{\partial t}$  Сводит исходную систему к системе с меньшим количеством степеней свободы

### Вихреразрешающее моделирование (Large Eddy Simulation, LES)

$$\frac{\partial \overline{u}_i}{\partial t} = -\frac{\partial \overline{u}_i \overline{u}_j}{\partial x_j} - \frac{\partial \tau_{ij}}{\partial x_j} - \frac{\partial \overline{p}}{\partial x_i} + \frac{1}{Re} \frac{\partial^2 \overline{u}_i}{\partial x_i \partial x_j} + \overline{F}_i^e,$$

$$\frac{\partial \overline{u}_i}{\partial x_i} = 0,$$

$$\tau_{ij} = \overline{u_i u_j} - \overline{u}_i \overline{u}_j.$$
Для очень больших чисел Re

1. Влиянием молекулярной вязкости на крупные вихри можно пренебречь

2. Необходимо найти турбулентное замыкание

$$\tau_{ij} \approx T_{ij} (\overline{u}_k, \overline{u}_l, \overline{u}_m)$$
Центральная проблема LES.

 $\dfrac{\partial \overline{s}}{\partial t} = -\overline{u}_i \dfrac{\partial \overline{s}}{\partial x_i} - \dfrac{\partial \sigma_i^s}{\partial x_i} + \overline{Q}^s$   $\sigma_i^s = \overline{su_i} - \overline{u_i} \, \overline{s}$  (температура, влажность воздуха, Концентрации газовых примесей )

**RANS** Reynolds-averaged Navier–Stokes (Osborne Reynolds, 1895) a=A+a'  $\langle a \rangle = A$  ,  $\langle a' \rangle = 0$ 

$$\frac{\mathrm{D}U_{i}}{\mathrm{D}t} = -\frac{1}{\rho_{00}} \frac{\partial \langle \tilde{p} \rangle}{\partial x_{i}} + \varepsilon_{ij3} f U_{j} + \nu \frac{\partial^{2} U_{i}}{\partial x_{j} \partial x_{j}} + \delta_{i3} \frac{g}{\theta_{00}} \Theta + \frac{\partial \langle u_{i}u_{j} \rangle}{\partial x_{j}} \rangle$$

$$\frac{\mathrm{D}\Theta}{\mathrm{D}t} + U_{3} \frac{\mathrm{d}\theta_{0}}{\mathrm{d}x_{3}} = \kappa_{\mathrm{T}} \frac{\partial^{2}\Theta}{\partial x_{j} \partial x_{j}} + \frac{\partial \langle u_{j}\theta \rangle}{\partial x_{j}} \rangle$$

$$\frac{\mathrm{D}C}{\mathrm{D}t} = \kappa_{c} \frac{\partial^{2}C}{\partial x_{j} \partial x_{j}} + \frac{\partial \langle u_{j}c \rangle}{\partial x_{j}} \rangle$$

$$\langle u_{i}u_{j} \rangle = \frac{1}{3} \langle u_{i}u_{i} \rangle \delta_{ij} - \langle K_{\tau_{j}} \left( \frac{\partial U_{i}}{\partial x_{j}} + \frac{\partial U_{j}}{\partial x_{i}} \right) \qquad \langle u_{i}\theta \rangle = -\langle K_{\mathrm{Q}} \frac{\partial \Theta}{\partial x_{i}} \rangle$$

$$K_{\tau} = c_{\tau}(R_{\mathrm{g}}) \sqrt{E_{\mathrm{k}}} l_{\tau} \qquad E_{\mathrm{k}} = \frac{1}{2} \langle u_{i}u_{i} \rangle \qquad K_{\mathrm{Q}} = c_{\mathrm{Q}}(R_{\mathrm{g}}) \sqrt{E_{\mathrm{k}}} l_{\tau}$$

 $l_{\tau}^{-1} = (\kappa z)^{-1} + l_{0}^{-1}$ 

#### **RANS**

$$\frac{\mathrm{D}E_{\mathrm{k}}}{\mathrm{D}t} = -\langle u_i u_j \rangle \frac{\partial U_i}{\partial x_j} - \frac{\partial}{\partial x_j} \left( \frac{\langle p u_j \rangle}{\rho_{00}} + \frac{1}{2} \langle u_i u_i u_j \rangle \right)$$

$$+ \frac{g}{\theta_{00}} \langle \theta u_3 \rangle + \nu \frac{\partial^2 E_k}{\partial x_j \partial x_j} - \varepsilon . \qquad \varepsilon = \nu \left\langle \frac{\partial u_i}{\partial x_i} \frac{\partial u_i}{\partial x_i} \right\rangle$$

$$-\left(\frac{\langle pu_j\rangle}{\rho_{00}} + \frac{1}{2}\langle u_i u_i u_j\rangle\right) = K_{\tau} \frac{\partial E_k}{\partial x_j} \qquad \varepsilon = C_{\varepsilon} \frac{E_k^{3/2}}{l_{\tau}}$$

$$\frac{\mathrm{D}\varepsilon}{\mathrm{D}t} = -C_1 \langle u_i u_j \rangle \frac{\partial U_i}{\partial x_j} \frac{\varepsilon}{E_k} - C_2 \frac{\varepsilon^2}{E_k} + \frac{\partial}{\partial x_j} \left( \frac{K_{\tau}}{C_3} \frac{\partial \varepsilon}{\partial x_j} \right)$$

### RANS замыкания высокого порядка

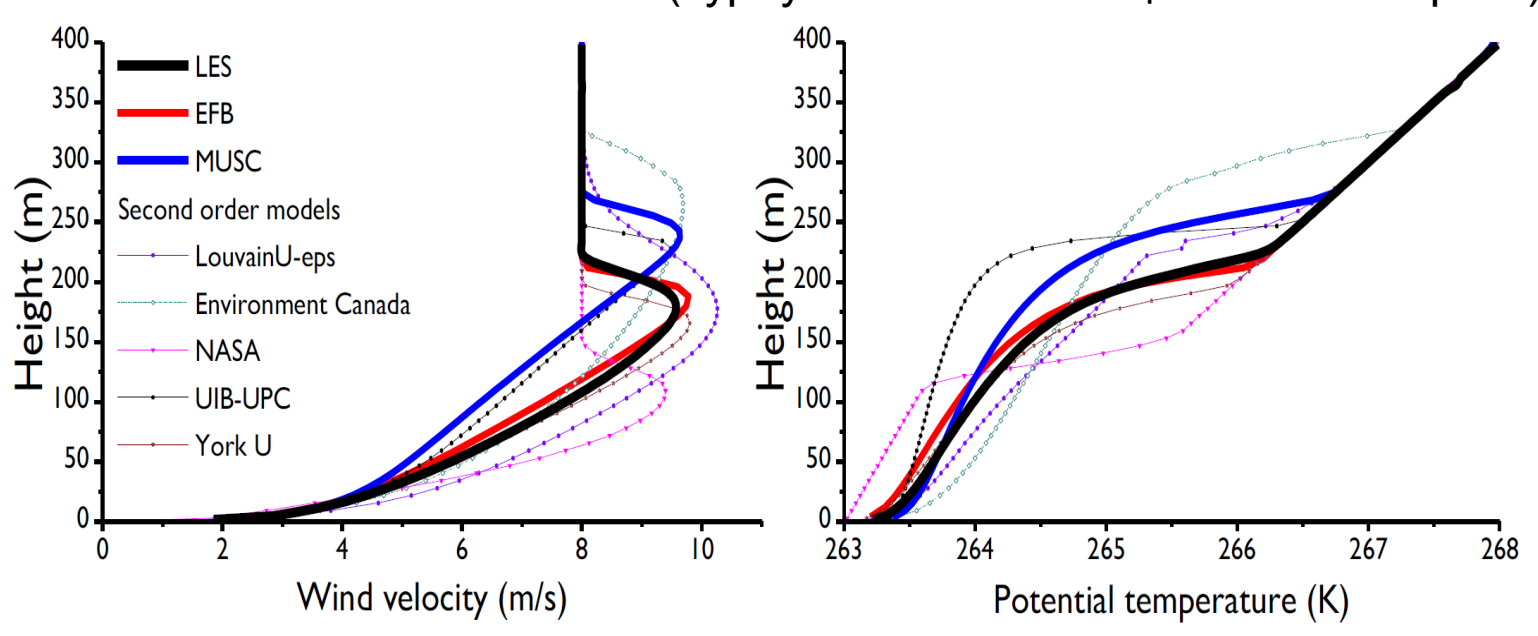
$$\frac{\mathrm{D}\langle u_{i}u_{k}\rangle}{\mathrm{D}t} = \left(-\langle u_{i}u_{j}\rangle\frac{\partial\langle u_{k}\rangle}{\partial x_{j}} - \langle u_{k}u_{j}\rangle\frac{\partial\langle u_{i}\rangle}{\partial x_{j}}\right) - \left(\frac{\partial\langle u_{i}u_{j}u_{k}\rangle}{\partial x_{j}}\right) + \frac{g}{\partial a_{0}}(\delta_{k3}\langle u_{i}\theta\rangle + \delta_{i3}\langle u_{k}\theta\rangle) + f(\varepsilon_{kj3}\langle u_{i}u_{j}\rangle + \varepsilon_{ij3}\langle u_{k}u_{j}\rangle) \\
- \left(\frac{1}{\rho_{00}}\left\langle u_{k}\frac{\partial p}{\partial x_{i}} + u_{i}\frac{\partial p}{\partial x_{k}}\right\rangle\right) + v\left\langle u_{k}\frac{\partial^{2}u_{i}}{\partial x_{j}\partial x_{j}} + u_{i}\frac{\partial^{2}u_{k}}{\partial x_{j}\partial x_{j}}\right\rangle.$$

$$\frac{1}{\rho_{00}} \left\langle p \left( \frac{\partial u_i}{\partial x_j} + \frac{\partial u_j}{\partial x_i} \right) \right\rangle = -\frac{E_k^{1/2}}{3l_k} \left( \langle u_i u_j \rangle - \frac{2\delta_{ij}}{3} E_k \right) \quad \langle u_k u_i u_j \rangle = -E_k^{1/2} \tilde{\lambda}_1 \left( \frac{\partial \langle u_i u_j \rangle}{\partial x_k} + \frac{\partial \langle u_i u_k \rangle}{\partial x_j} + \frac{\partial \langle u_j u_k \rangle}{\partial x_i} \right) \\
+ \tilde{C}_1 E_k \left( \frac{\partial U_i}{\partial x_j} + \frac{\partial U_j}{\partial x_i} \right) \quad \langle u_k u_j \theta \rangle = -E_k^{1/2} \tilde{\lambda}_2 \left( \frac{\partial \langle u_k \theta \rangle}{\partial x_j} + \frac{\partial \langle u_j u_k \rangle}{\partial x_k} \right) \\
\frac{1}{\rho_{00}} \left\langle p \frac{\partial \theta}{\partial x_j} \right\rangle = -\frac{E_k^{1/2}}{3l_2} \langle u_j \theta \rangle \quad \langle u_k \theta^2 \rangle = -E_k^{1/2} \tilde{\lambda}_2 \frac{\partial \langle \theta^2 \rangle}{\partial x_k} \\
\frac{1}{\rho_{00}} \left\langle u_k \theta^2 \right\rangle = -E_k^{1/2} \tilde{\lambda}_2 \frac{\partial \langle \theta^2 \rangle}{\partial x_k} \\
\frac{\partial \langle u_i u_j \rangle}{\partial x_i} + \frac{\partial \langle u_i u_k \rangle}{\partial x_i} + \frac{\partial \langle u$$

RANS (EFB, Energy Flux Balance (Zilitinkevich et al. 2013)

$$\frac{DE_K}{Dt} + \frac{\partial \Phi_K}{\partial z} = \tau S(+\beta F_z) + \varepsilon_K \quad E_P = \frac{1}{2} \left(\frac{\beta}{N}\right)^2 \left\langle \theta^2 \right\rangle \quad \frac{DE_P}{Dt} + \frac{\partial \Phi_P}{\partial z} = (-\beta F_z) - \varepsilon_P$$

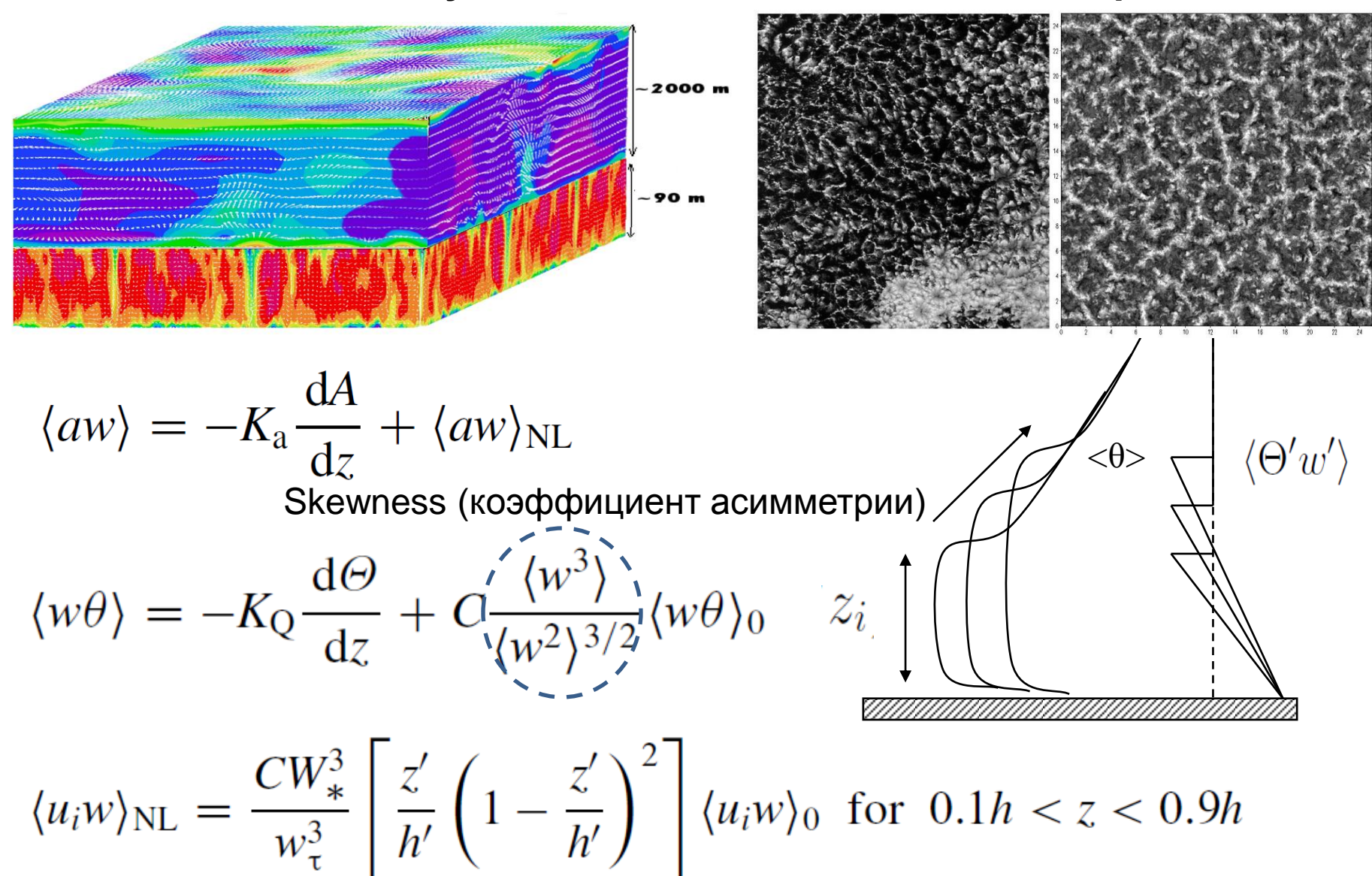
ТКЕ+ТПЕ (турбулентная потенциальная энергия)



Средняя скорость ветра и потенциальная температура в устойчиво-стратифицированном АПС, вычисленные при помощи LES-модели ИВМ РАН (черные кривые) и различных локально-одномерных моделей ( Holtslag., 2006). Красные кривые – новая локально-одномерная модель пограничного слоя (Zilitinkevich et al. 2013), откалиброванная при помощи DNS и LES-моделей, разработанных в ИВМ РАН.

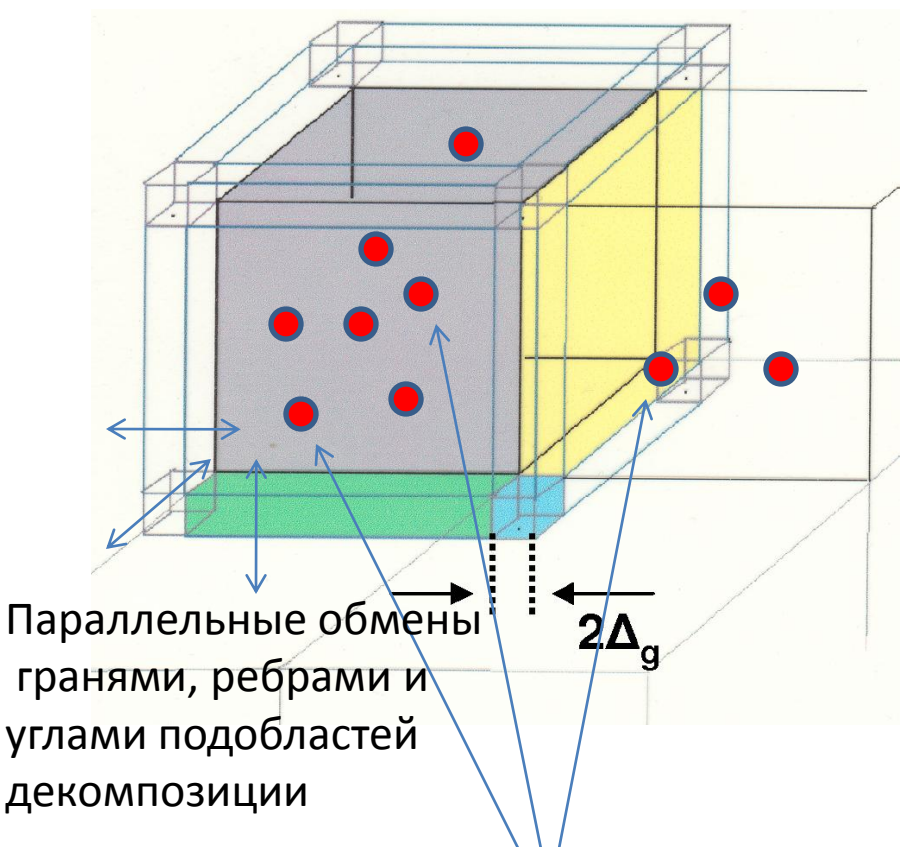
Численное моделирование атмосферной турбулентности при помощи трехмерных нестационарных моделей высокого пространственного разрешения (DNS и LES) позволяет улучшить качество параметризаций для глобальных атмосферных моделей и тем самым повысить точность прогноза погоды и достоверность воспроизведения климата.

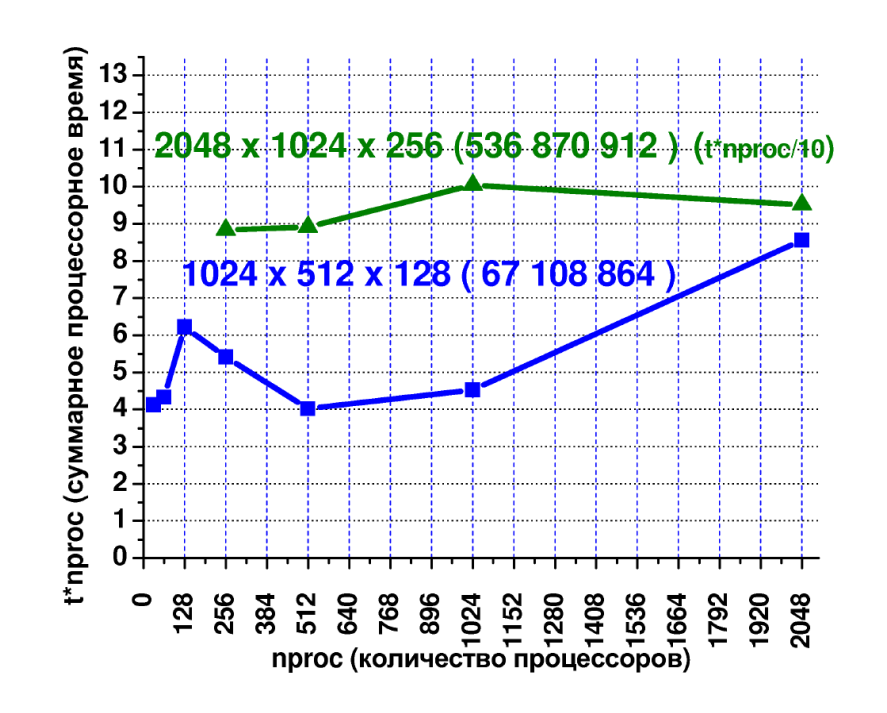
# RANS замыкания, учитывающие нелокальность переноса в АПС



(Deardorff 1966; Wyngaard 1987; Holtslag and Moeng 1991; Brown and Grant 1997)

# Параллельная реализация - MPI, трехмерная декомпозиция расчетной области



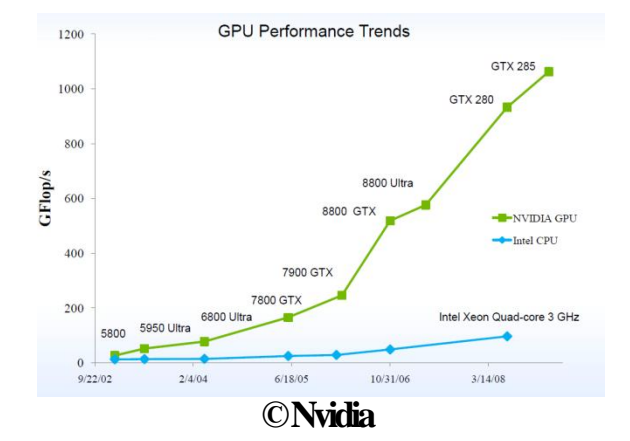


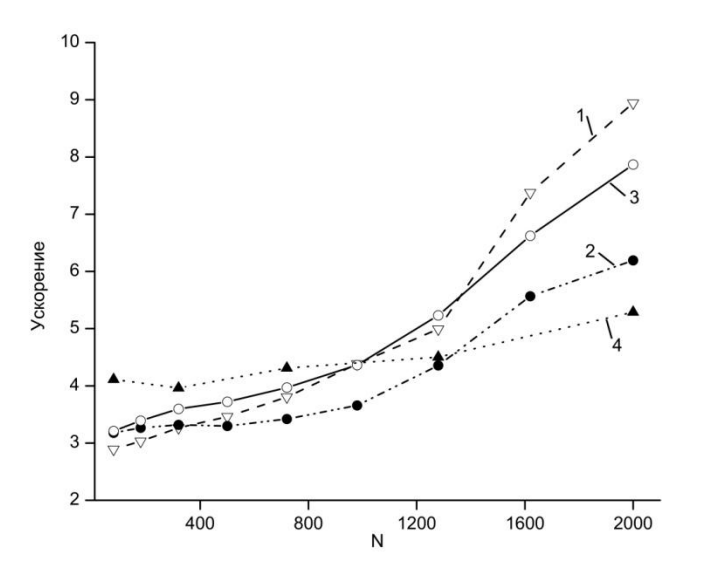


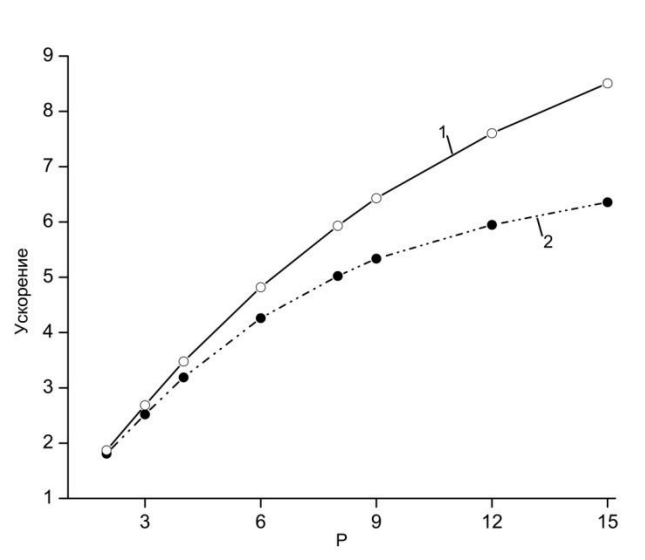
Лагранжев перенос частиц (параллельные обмены частицами)

# DNS. Программная реализация Параллельная реализация на графических процессорах

- Актуальная современная вычислительная технология
  - Достоинства
    - Низкая стоимость
    - Энергоэффективность
    - Высокая производительность графических процессоров
  - Усложняется программная реализация
  - Модификация численных методов

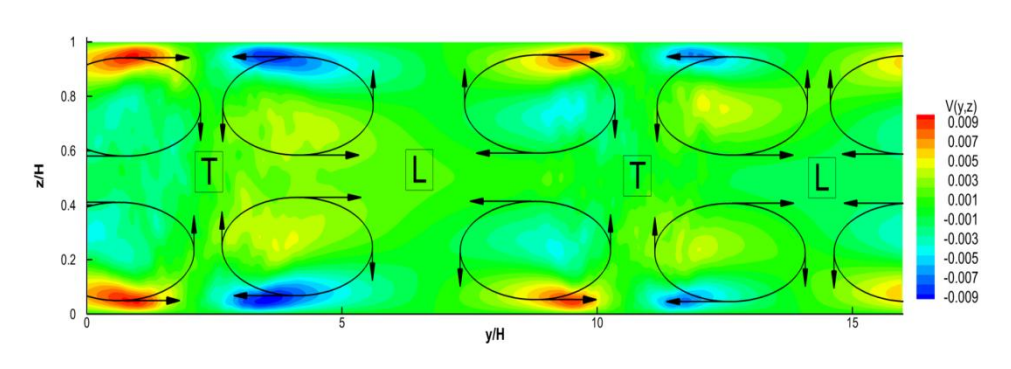




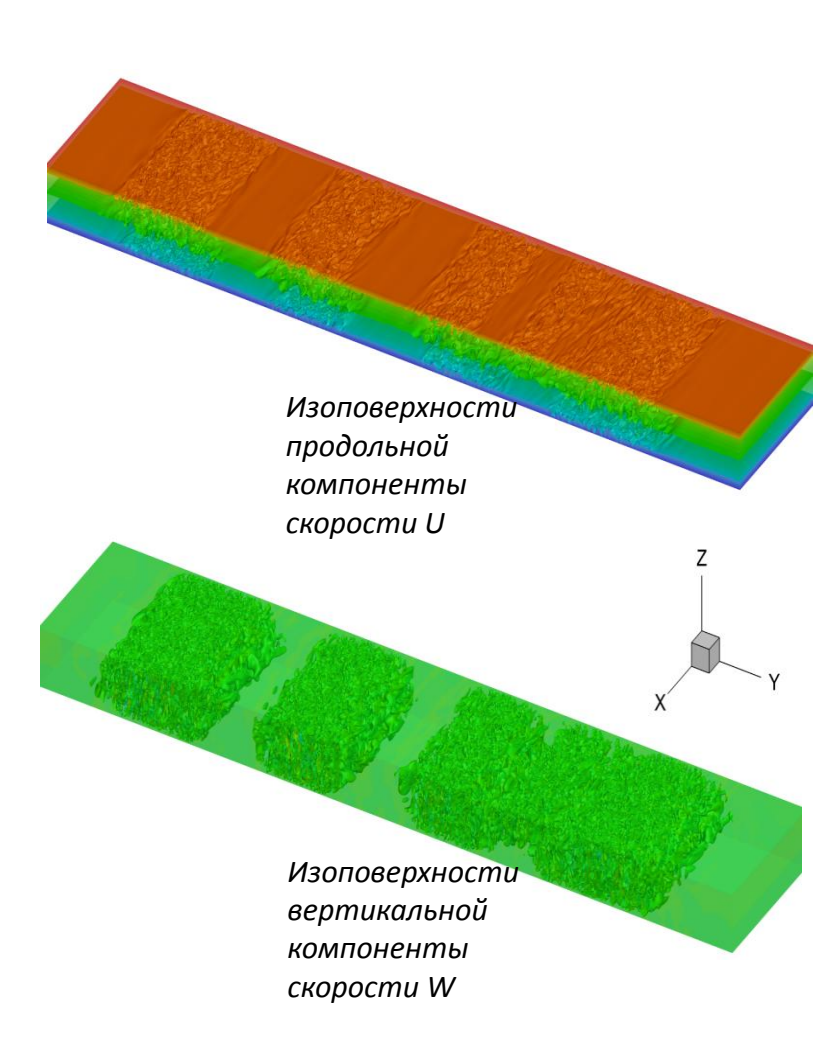


# Структура турбулентного течения режим сильной устойчивости

- Перемежающаяся турбулентность при сильной устойчивости
- Формирование вторичных структур в стратифицированной жидкости
  - Ответственны за поддержание турбулентности при числах Ричардсона, превышающих пороговое значение
  - Поперечный размер валиков увеличивается при усилении стратификации – дополнительное ограничение на размер вычислительной области



L – ламинарная подобласть теченияT – турбулентная подобластьтечения



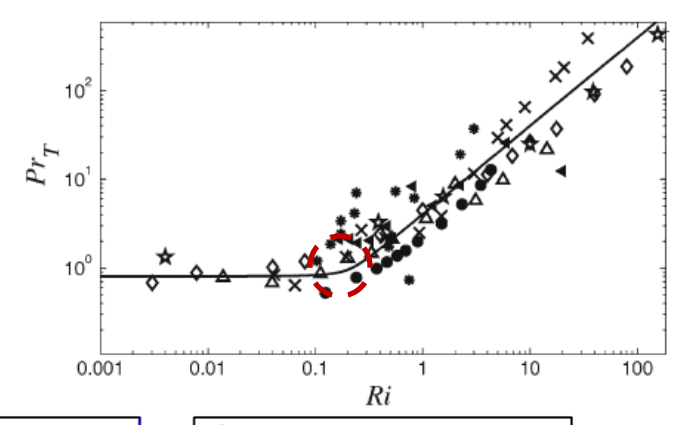
#### DNS. Турбулентное течение Куэтта при устойчивой стратификации. Существует ли турбулентность при больших числах Ричардсона?

$$Ri=rac{g/\Theta_0(d\langle\Theta\rangle/dz)}{\left|d\langle\mathbf{u}
angle/dz
ight|^2}$$
  $Ri<0.25$  (Критерий устойчивости линейных внутренних волн Майлса - Ховарда ,1961)

$$Rf = rac{gQ}{\Theta_0(\mathbf{S} \cdot au)}$$
  $R\!f < 1$  Из энергетических соображений

$$Pr = \frac{K_m}{K_h} = \frac{\phi_h}{\phi_m} = \frac{Ri}{Rf}$$

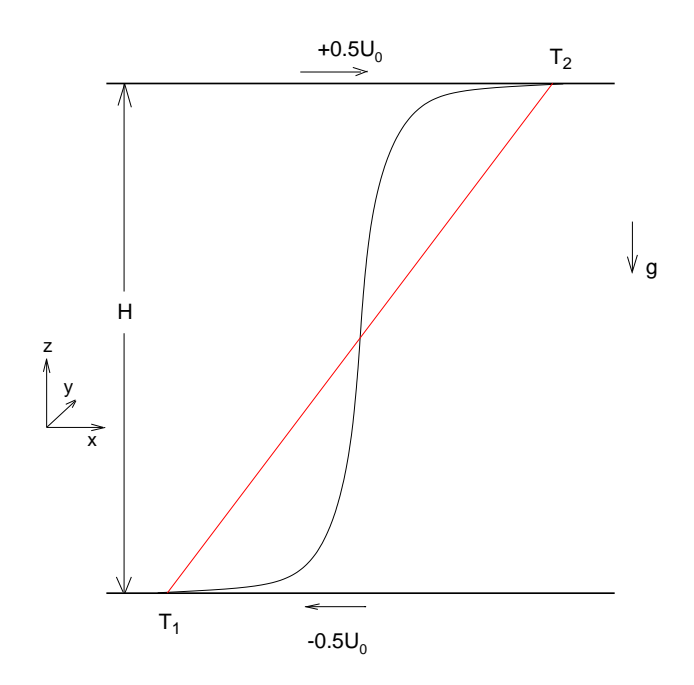
Турбулентное число Прандтля

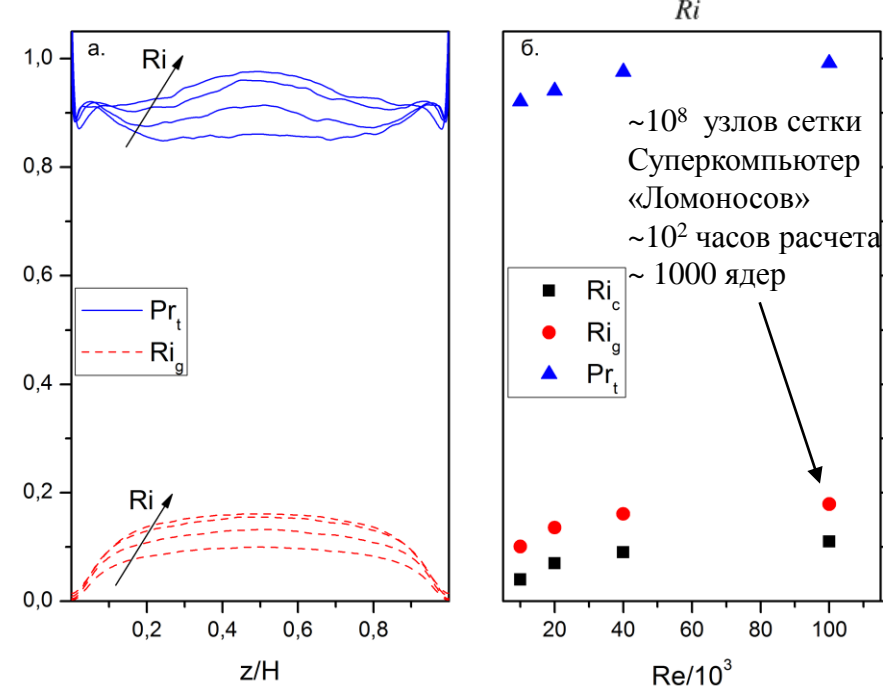


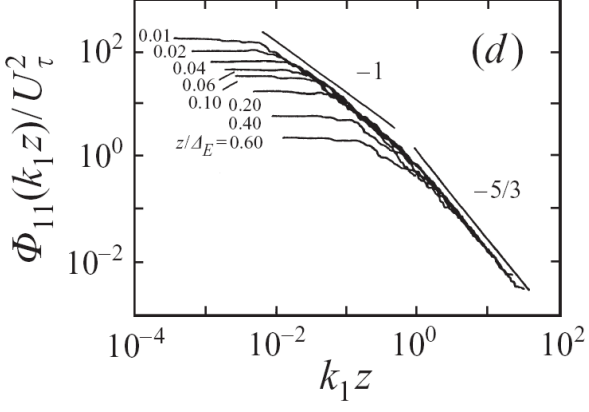
1.0

0,4

0,2

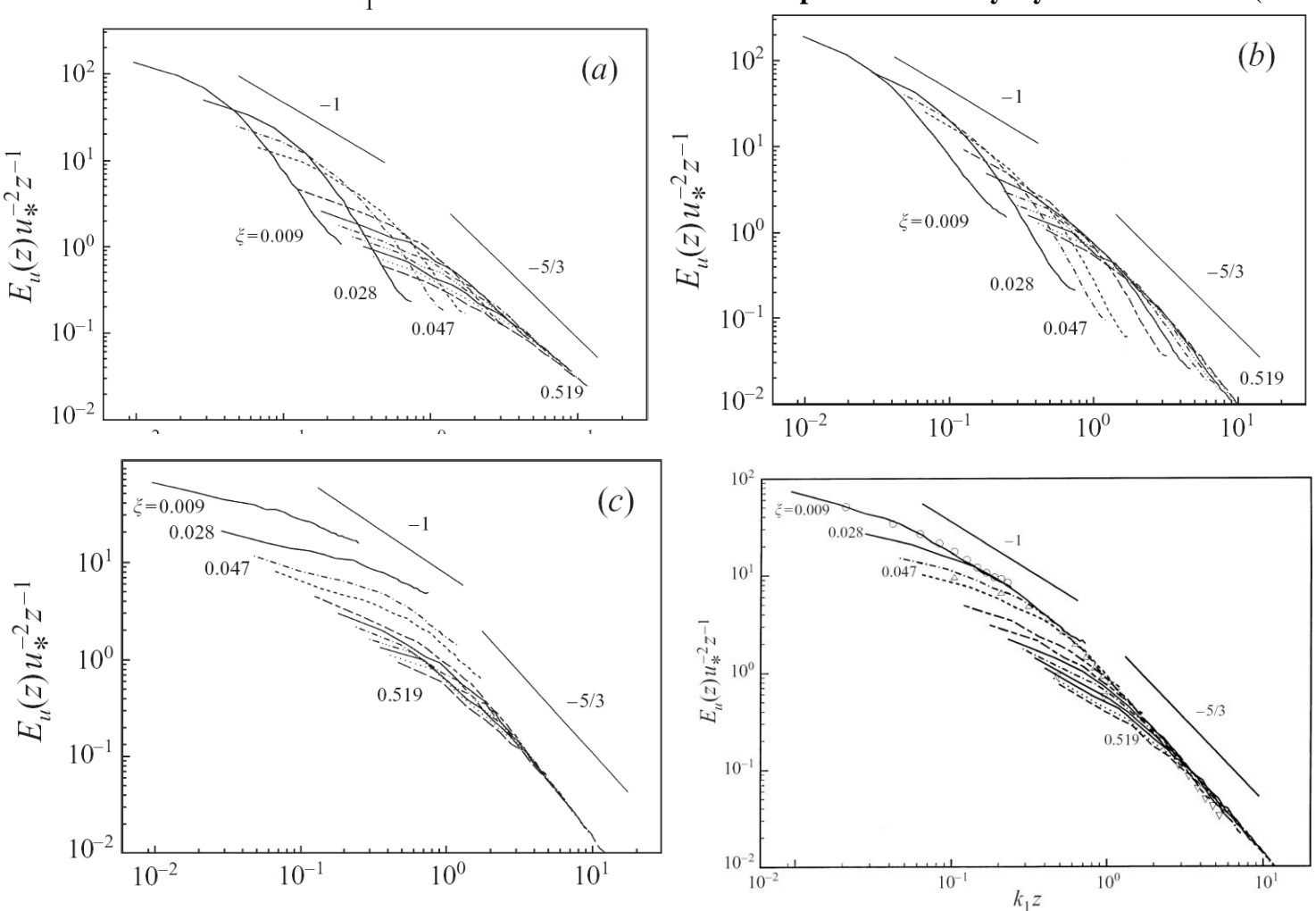






Нормированные спектры продольной компоненты скорости на различном удалении от стенки (лабораторные измерения,  $Re_{\tau}$  = 2x10<sup>5</sup>, Perry et al. 1986).

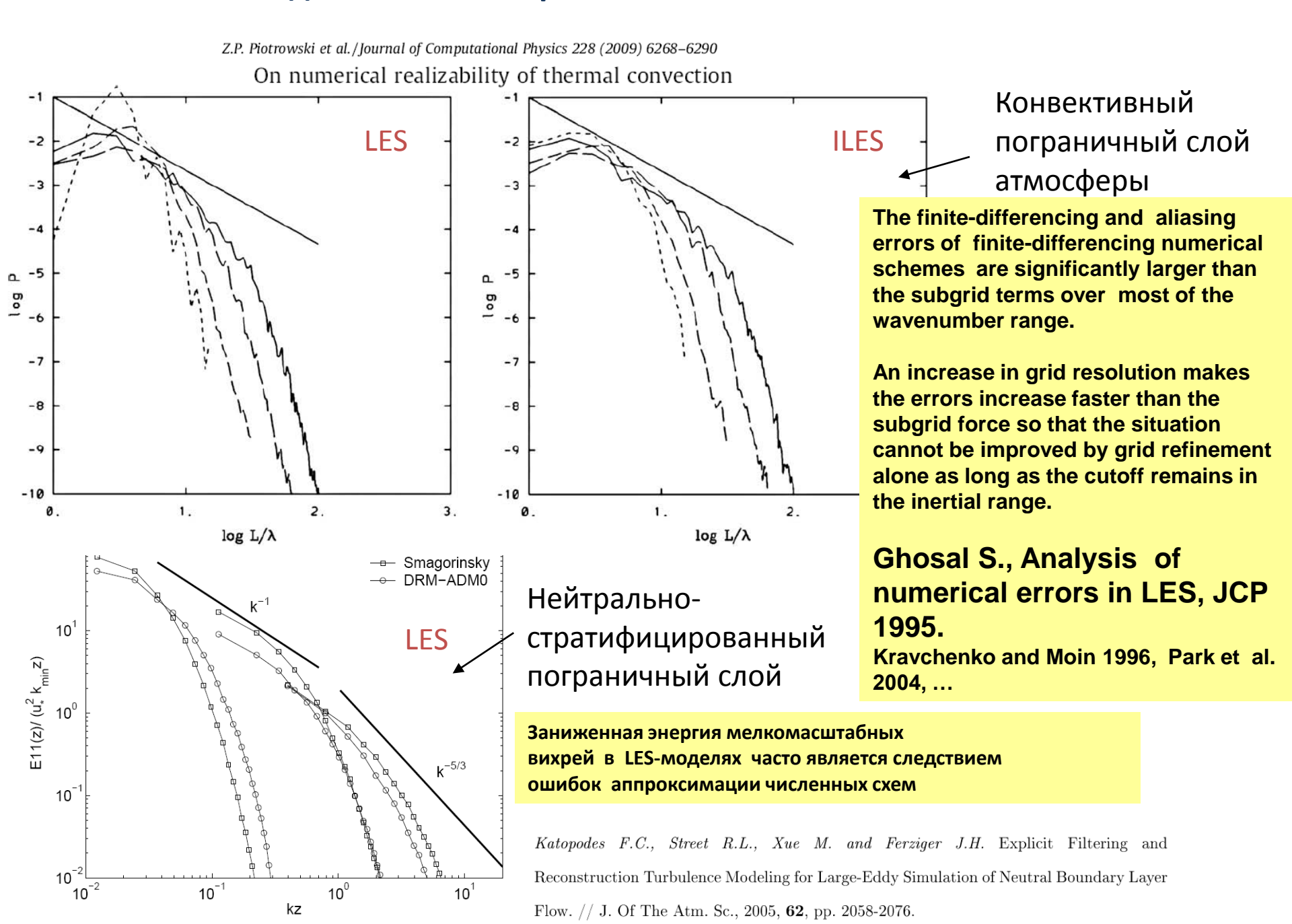
F. Porte-Agel, C. Meneveau and M. B. Parlange A scale-dependent dynamic model for large-eddy simulation: application to a neutral atmospheric boundary layer J. Fluid Mech. (2000), vol. 415, pp. 261-284



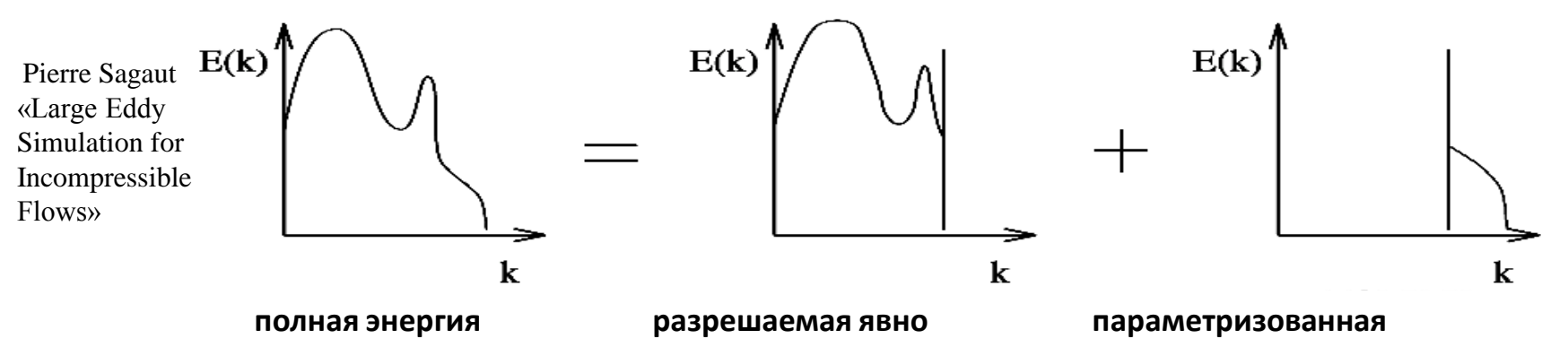
Псевдоспектральная численная схема

LES-модель с различными «подсеточными» замыканиями

#### LES-модели с конечно-разностными численными схемами

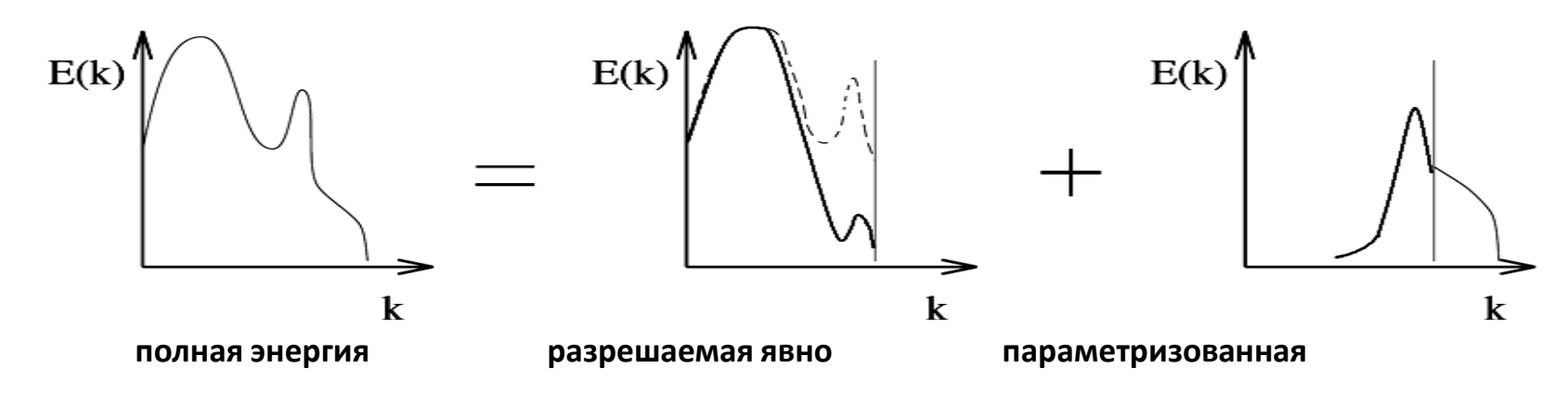


**LES с неявной фильтрацией** — аппроксимация по пространству играет роль фильтра. Ширина фильтра определяется шагом сетки



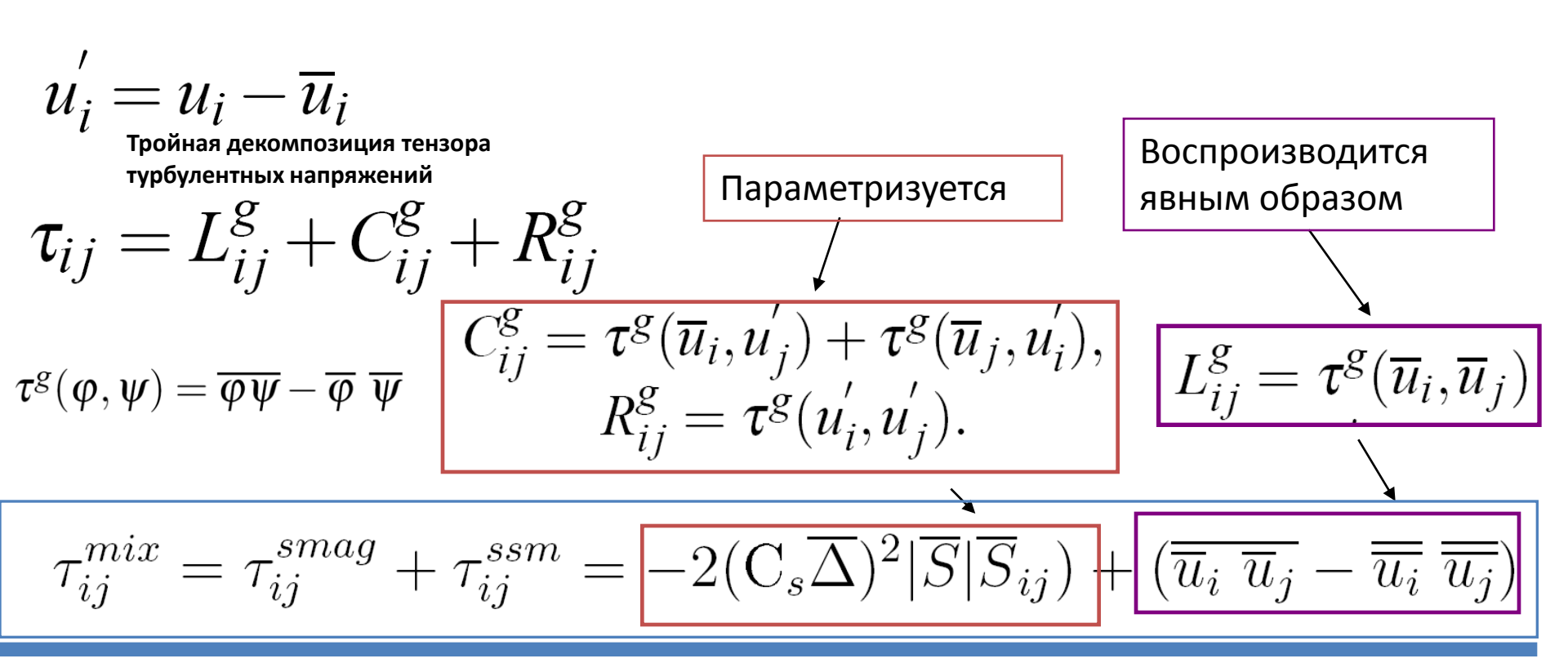
Схематическое представление спектра кинетической энергии в LES-модели

**LES с явной фильтрацией** — пространственный фильтр имеет ширину, превышающую шаг сетки, задан явным образом и используется при построении замыкания.



#### LES-модель ИВМ РАН

#### Смешанное подсеточное/подфильтровое замыкание



Задавая пространственный фильтр модели явным образом можно вычислить существенную часть тензора напряжений не прибегая к параметризациям

+ Повышается корреляция с реально наблюдаемым тензором турбулентных напряжений

#### LES-модель с ИВМ РАН

#### Динамический подход (Germano, 1991)

$$\widehat{\tau_{ij}} = \widehat{\overline{u_i u_j}} - \widehat{\overline{u_i} u_j}$$

$$T_{ij} = \widehat{u_i u_j} - \widehat{u_i} \,\,\widehat{\overline{u_j}}$$

Вводится дополнительный

«тестовый» фильтр



Тождество Германо:

$$T_{ij} - \widehat{\tau_{ij}} = \widehat{\overline{u_i}} \, \overline{u_j} - \widehat{\overline{u_i}} \, \widehat{\overline{u_j}} \, \overline{\kappa}$$

Не содержит нефильтрованных компонент скорости

Параметры замыкания находятся автоматически путем минимизации

Сюда можно подставить любую выбранную модель и предположить, что ее константы не зависят от ширины фильтра

невязки переопределенной системы уравнений

$$\left( (C_{\overline{\Delta}} \widehat{\overline{\Delta}})^2 M_{ij}^{\tau} \right) - (C_{\widehat{\overline{\Delta}}} \widehat{\overline{\Delta}})^2 M_{ij}^{T} = L_{ij} - H_{ij} + \varepsilon_{ij} \right)$$

+ В идеале можно получить модель

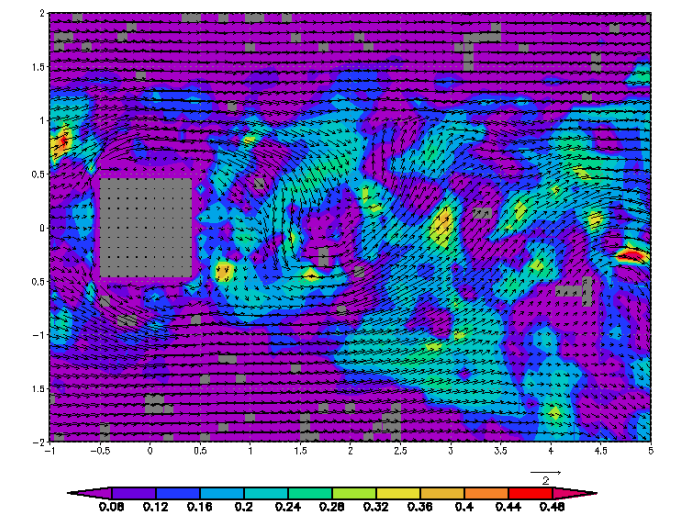
разных масштабов

подобия флуктуаций

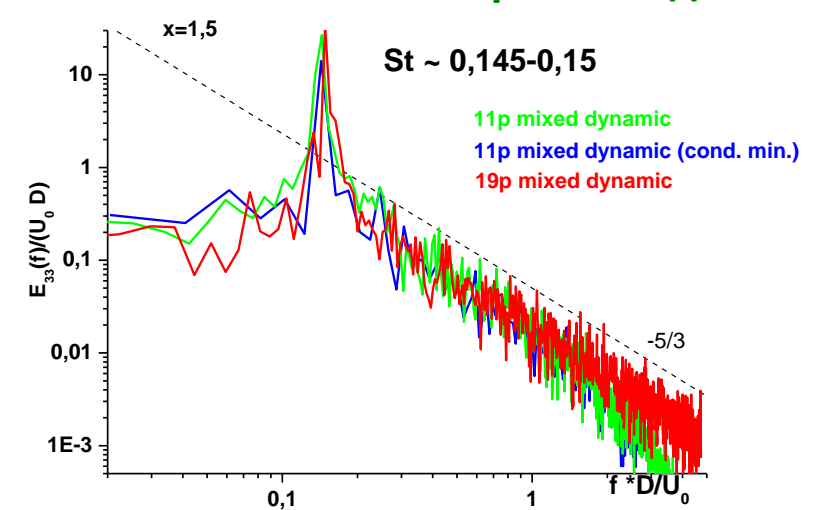
Используется свойство

статистического

#### Коэффициент, отвечающий за дисссипацию

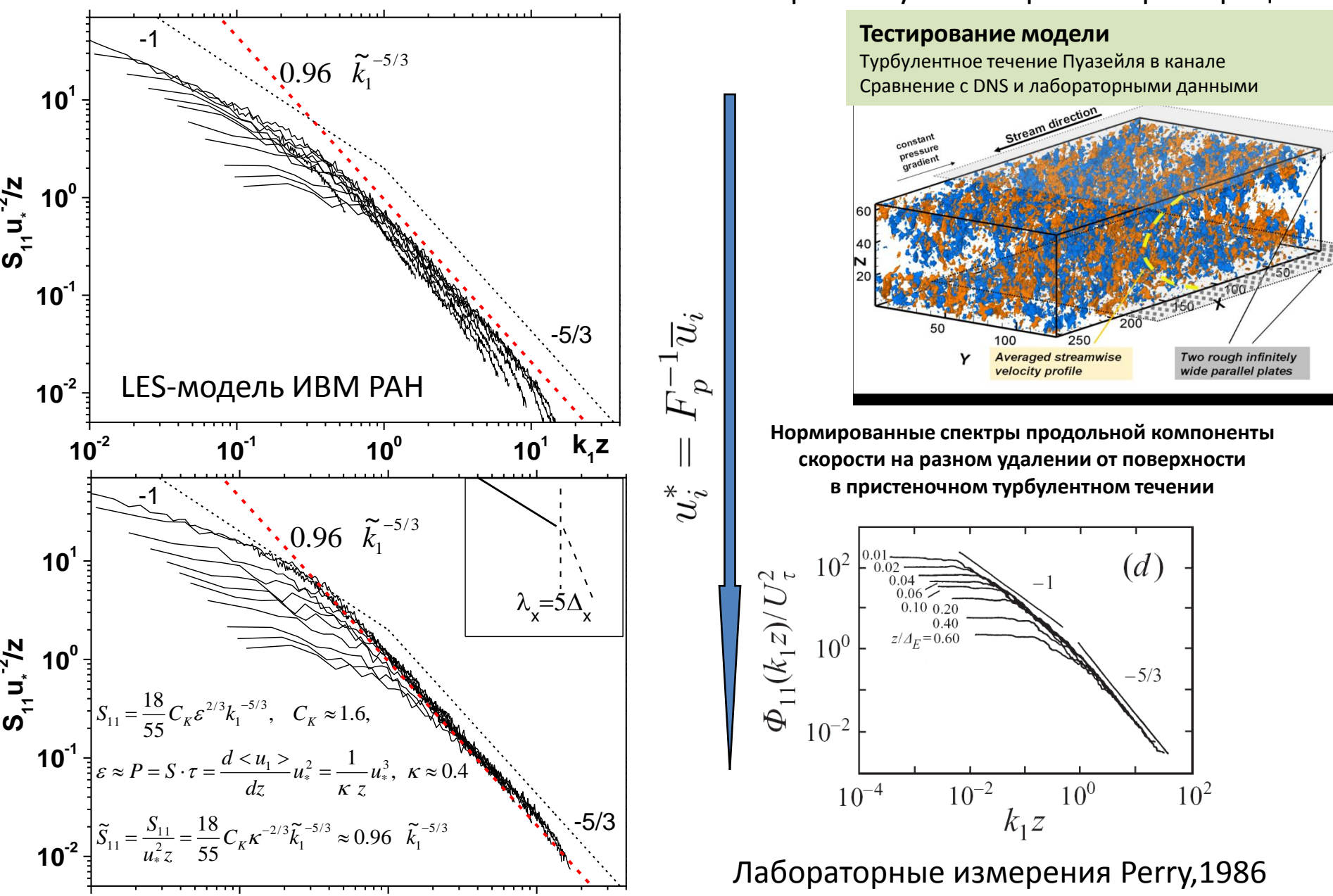




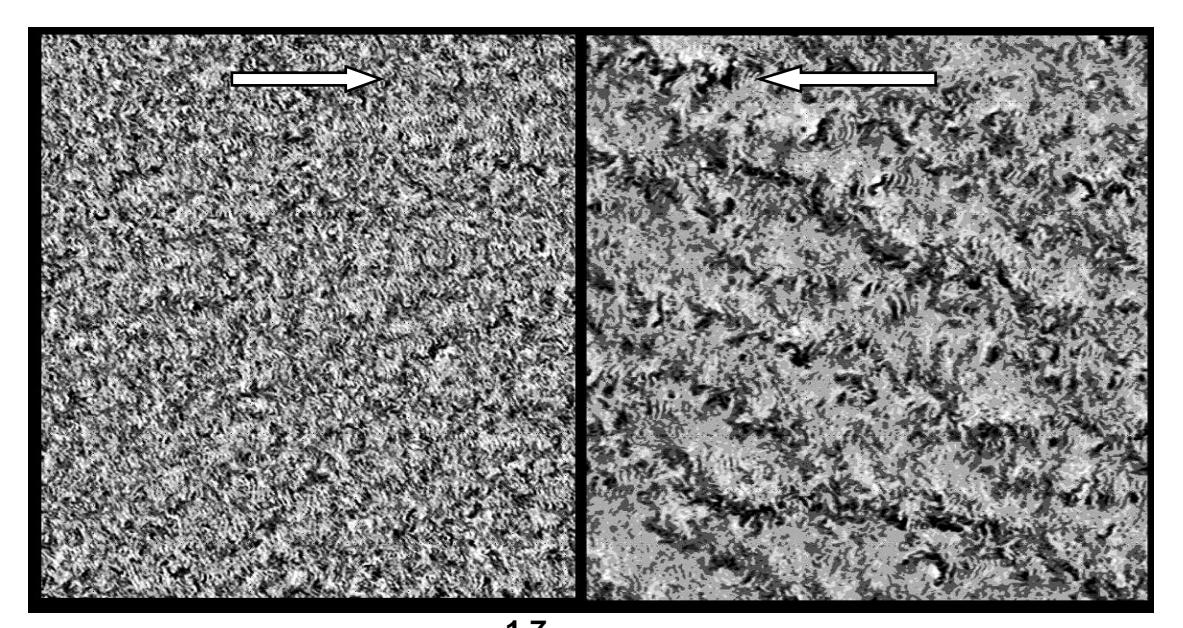


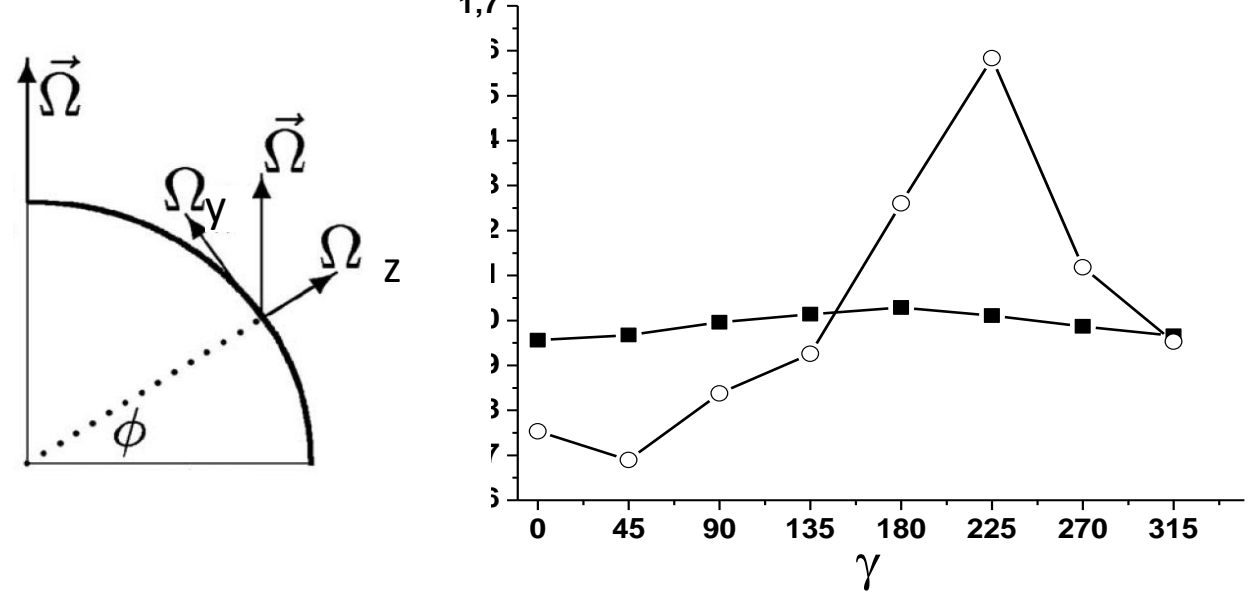
#### Интерпретация результатов моделирования

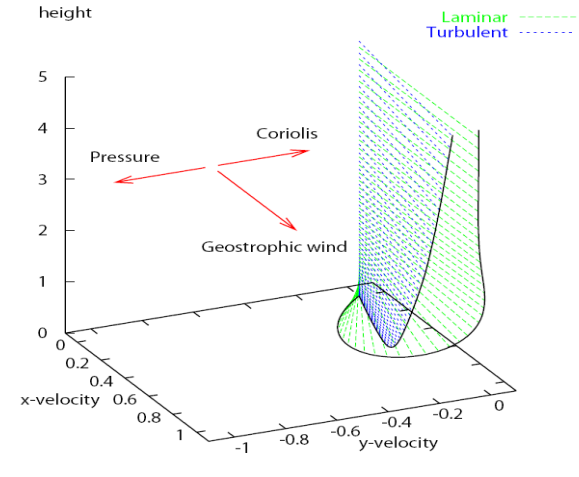
Восстановление мелкомасштабных компонент скорости путем «обратной фильтрации»



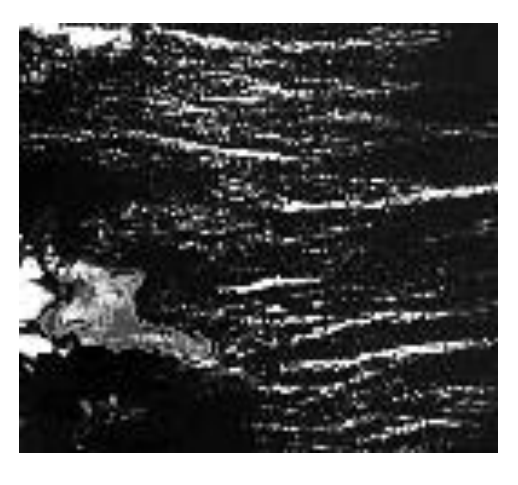
LES. Моделирование турбулентного слоя Экмана и его чувствительность к направлению ветра





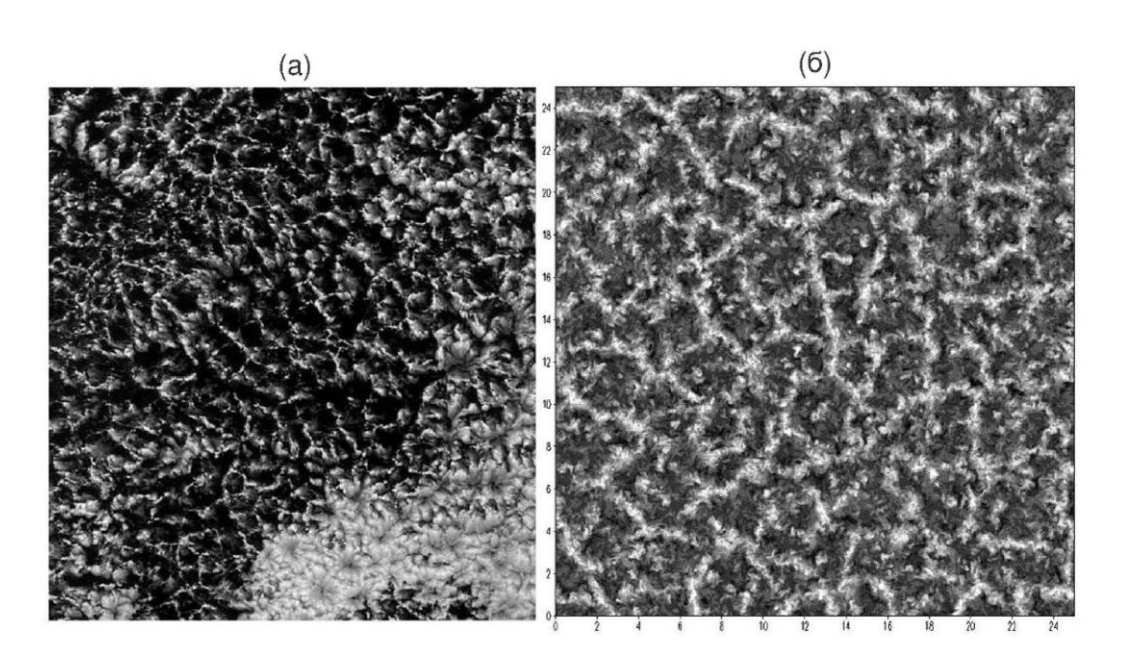


http://www.brockmann-consult.de/CloudStructures



Кинетическая энергия турбулентности (открытые кружки) и касательное напряжение на поверхности (квадратики зависимости от направления ветра (в нормировке на соответствующие величины без учета меридиональной составляющей угловой скорости)

#### LES. Моделирование растущего по высоте конвективного АПС.



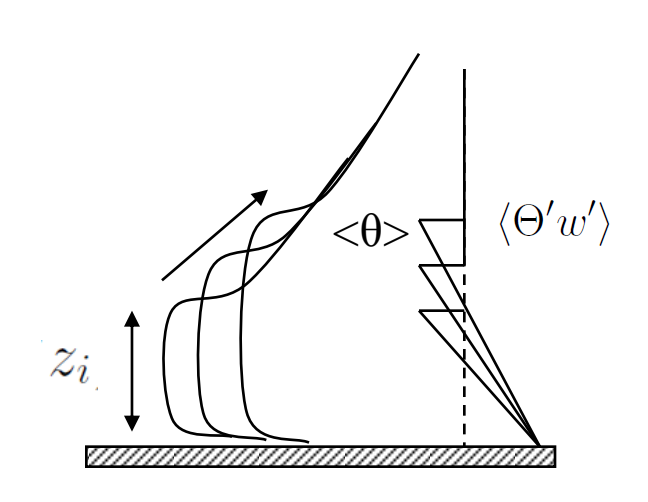
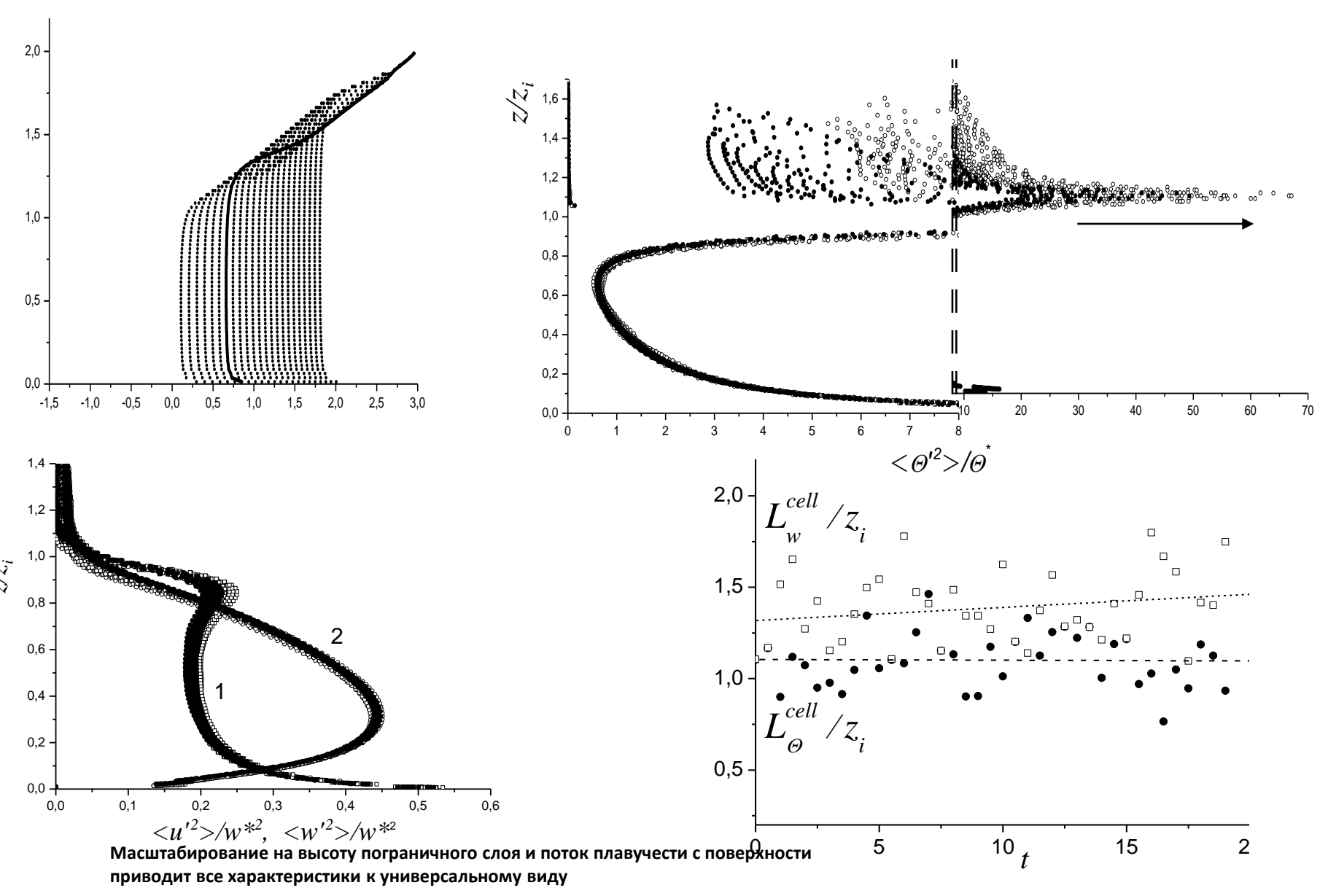


Рис. 3.6. Фотография облаков, связанных с конвективными ячейками в ППС над морем (a), и поле вертикальной скорости (на высоте  $z_i/2$ , где  $z_i$  - высота слоя инверсии), полученное при численном моделировании конвективного ППС (без облачности) с шагом сетки 25х25х25 м<sup>3</sup> (области с восходящим течением отмечены более светлой штриховкой) (б).

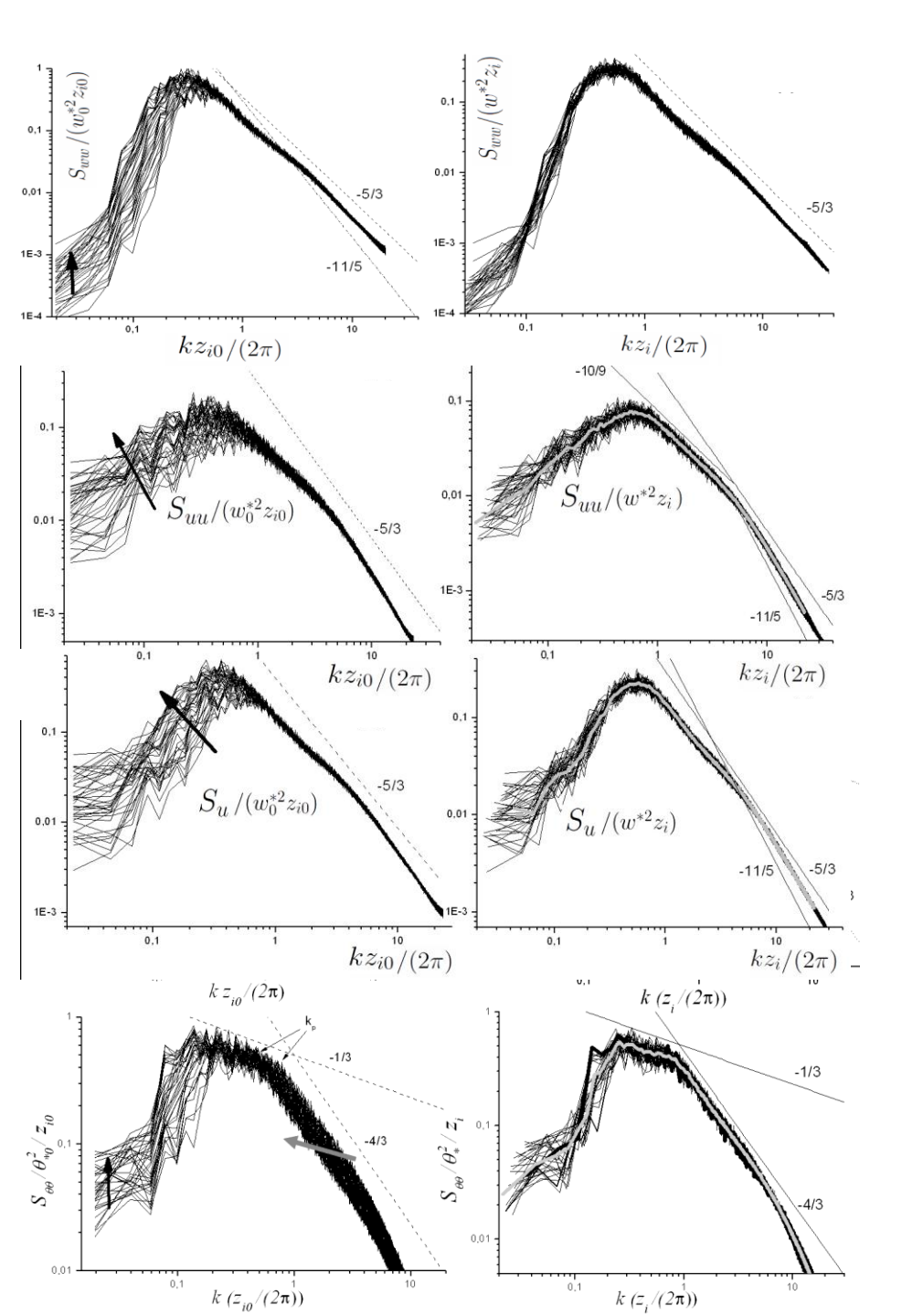
$$w^* = (\alpha g)^{1/3} z_i^{1/3} \langle w'\Theta' \rangle_0^{1/3},$$
 Теория подобия Дирдорфа 
$$\Theta^* = (\alpha g)^{-1/3} z_i^{-1/3} \langle w'\Theta' \rangle_0^{2/3},$$
 
$$t^* = z_i/w^* = (\alpha g)^{-1/3} z_i^{2/3} \langle w'\Theta' \rangle_0^{-1/3}.$$

#### Растущий по высоте пограничный слой атмосферы

(соотношение сторон расчетной области 26:26:1)



Все горизонтальные масштабы растут пропорционально высоте ПСА



«Классические» спектры кинетической энергии и дисперсии температуры в режиме свободной конвекции

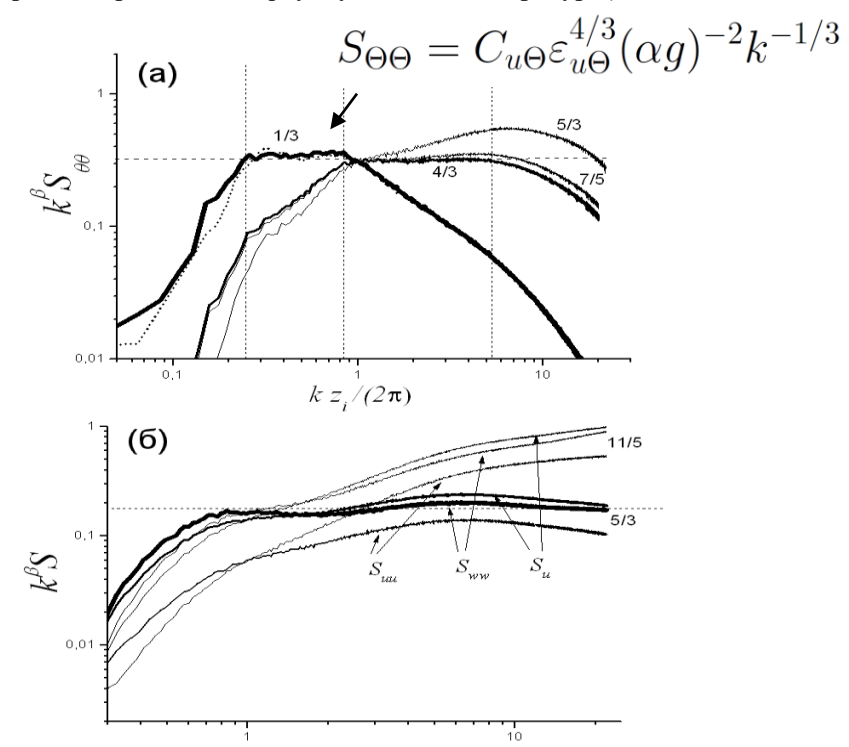
$$S_{u} = K_{KO} \varepsilon_{u}^{2/3} k^{-5/3},$$
  

$$S_{\Theta\Theta} = K_{\Theta} \varepsilon_{\Theta} \varepsilon_{u}^{-1/3} k^{-5/3}$$

Закон Колмогорова-Обухова (справедлив для инерционного интервала флуктуации температуры определяются флуктуациями скорости )

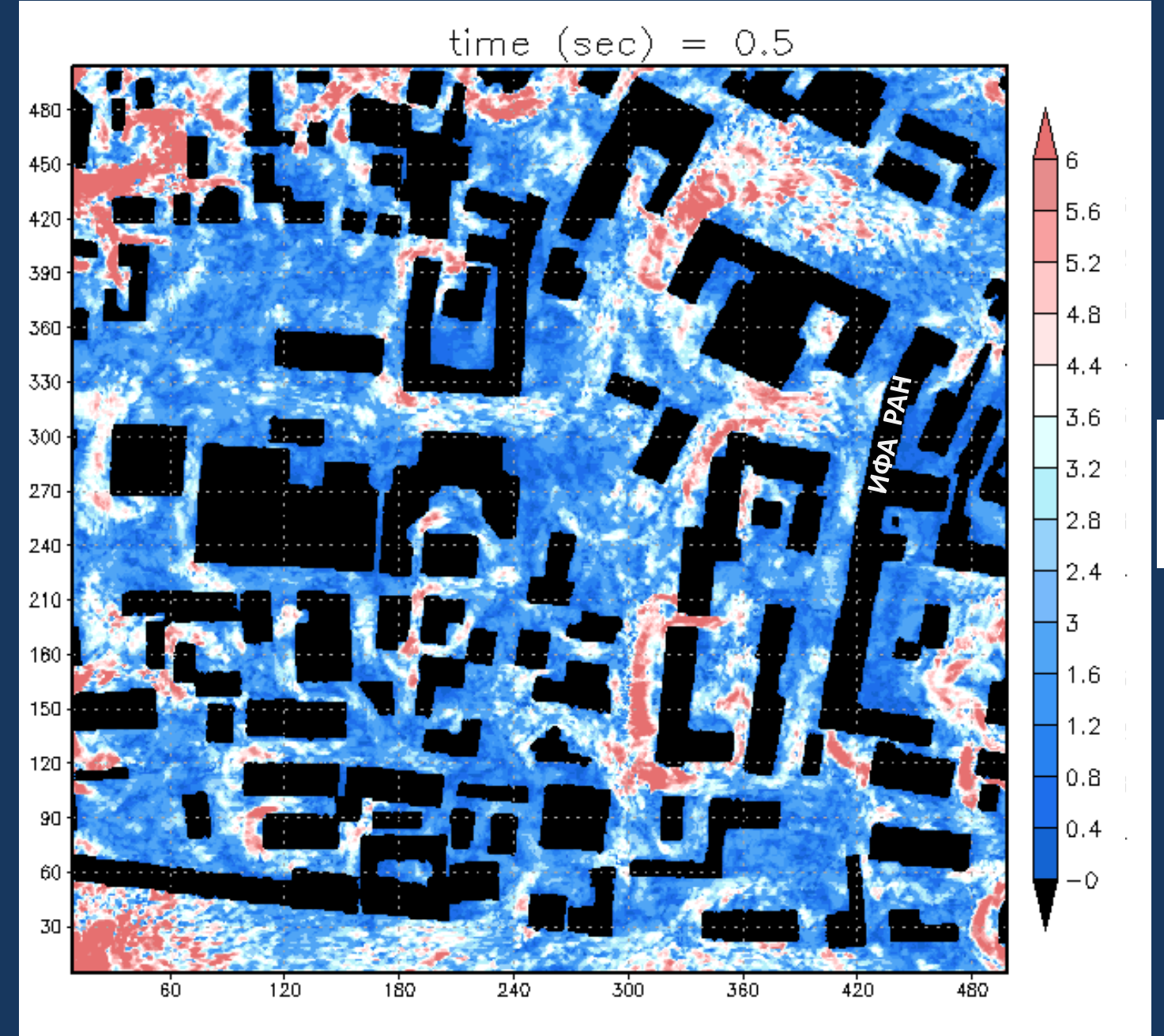
$$S_u = C_{BO} \varepsilon_{\Theta}^{2/5} (\alpha g)^{4/5} k^{-11/5},$$
  
 $S_{\Theta\Theta} = C_{\Theta} \varepsilon_{\Theta}^{4/5} (\alpha g)^{-2/5} k^{-7/5}$ 

Закон Больцано-Обухова (Крупные масштабы – флуктуации скорости определяются флуктуациями температуры)



Ни одна из пар классических законов не выделяется Для спектров дисперсии температуры на крупном масштабе наиболее близкие степенные зависимости -  $S \sim k^{-1/3}$  and  $S \sim k^{-4/3}$ 

LES-модель ИВМ РАН - расчет турбулентного обтекания городской застройки, модуль скорости ветра на высоте 0.5 м

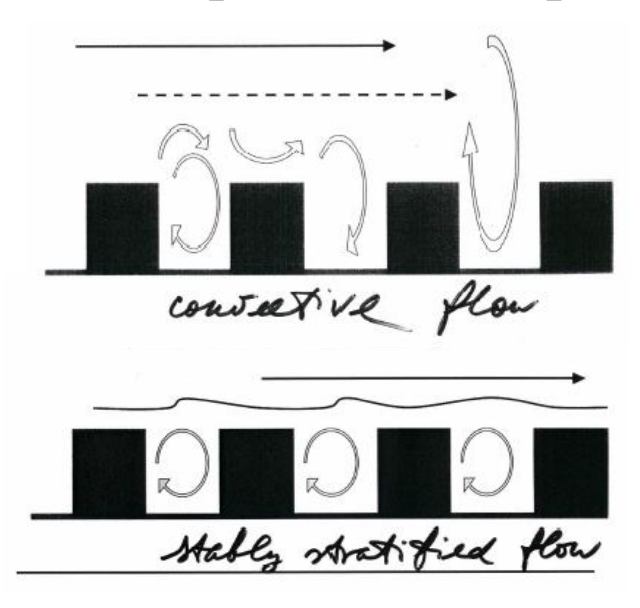


#### Boundary-Layer Meteorol (2008) 129:179–190

### The Effect of Stratification on the Aerodynamic Roughness Length and Displacement Height

S. S. Zilitinkevich  $\cdot$  I. Mammarella  $\cdot$  A. A. Baklanov  $\cdot$  S. M. Joffre

$$u(z) = \frac{u_*}{k} \left[ \ln \frac{z - d_{0u}}{z_{0u}} + \Psi_u \left( \frac{z}{L} \right) \right]$$



$$U(z) = \frac{u_*}{k} \left( \ln \frac{z - d_{0u}}{z_{0u}} + C_{U1} \frac{z - d_{0u}}{L} \right)$$

$$L = -u_*^3/F_b$$

Выполняются ли обычные зависимости теории подобия Монина-Обухова в турбулентных стратифицированных потоках над крупными объектами и если выполняются, то зависят ли аэродинамические характеристики таких поверхностей от стратификации?

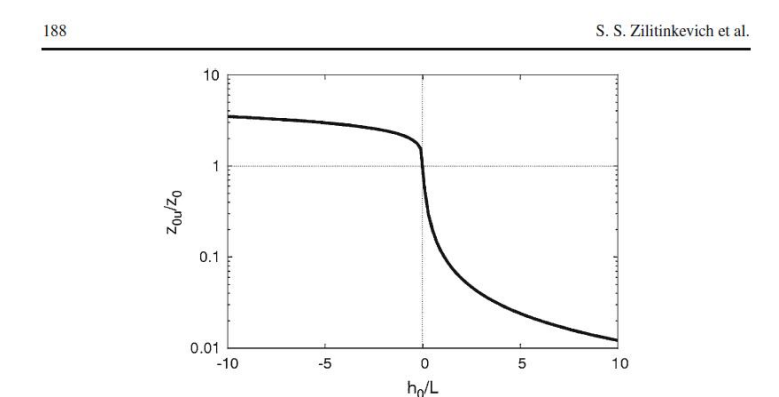


Fig. 6 Stability dependence of the roughness length. The curve shows  $z_{0u}/z_0$  versus  $h_0/L$  in the meteorological interval  $-10 < h_0/L < 10$  after Eqs. 12 and 15 with  $C_{ZS} = 8.13$  and  $C_{ZC} = 1.15$ 

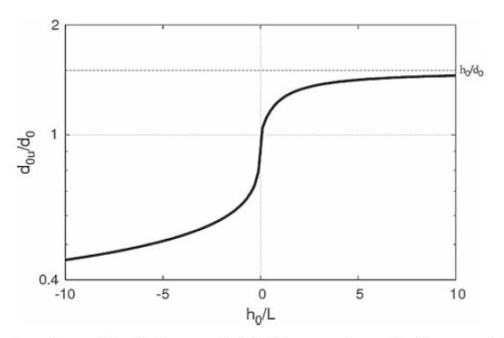


Fig. 7 Stability dependence of the displacement height. The curve shows  $d_{0u}/d_0$  versus  $h_0/L$  in the meteorological interval  $-10 < h_0/L < 10$  after Eqs. 16 and 17 with  $C_{DS} = 1.05$  and  $C_{DC} = 0.56$ . The dashed line shows the ultimate upper limit,  $d_{0u} = h_0$  (corresponding to our estimate of  $d_0 = 2h_0/3$  for boreal forest)

#### Нейтральная стратификация

(определение параметра шероховатости и высоты высоты вытеснения для разных конфигураций объектов на поверхности)

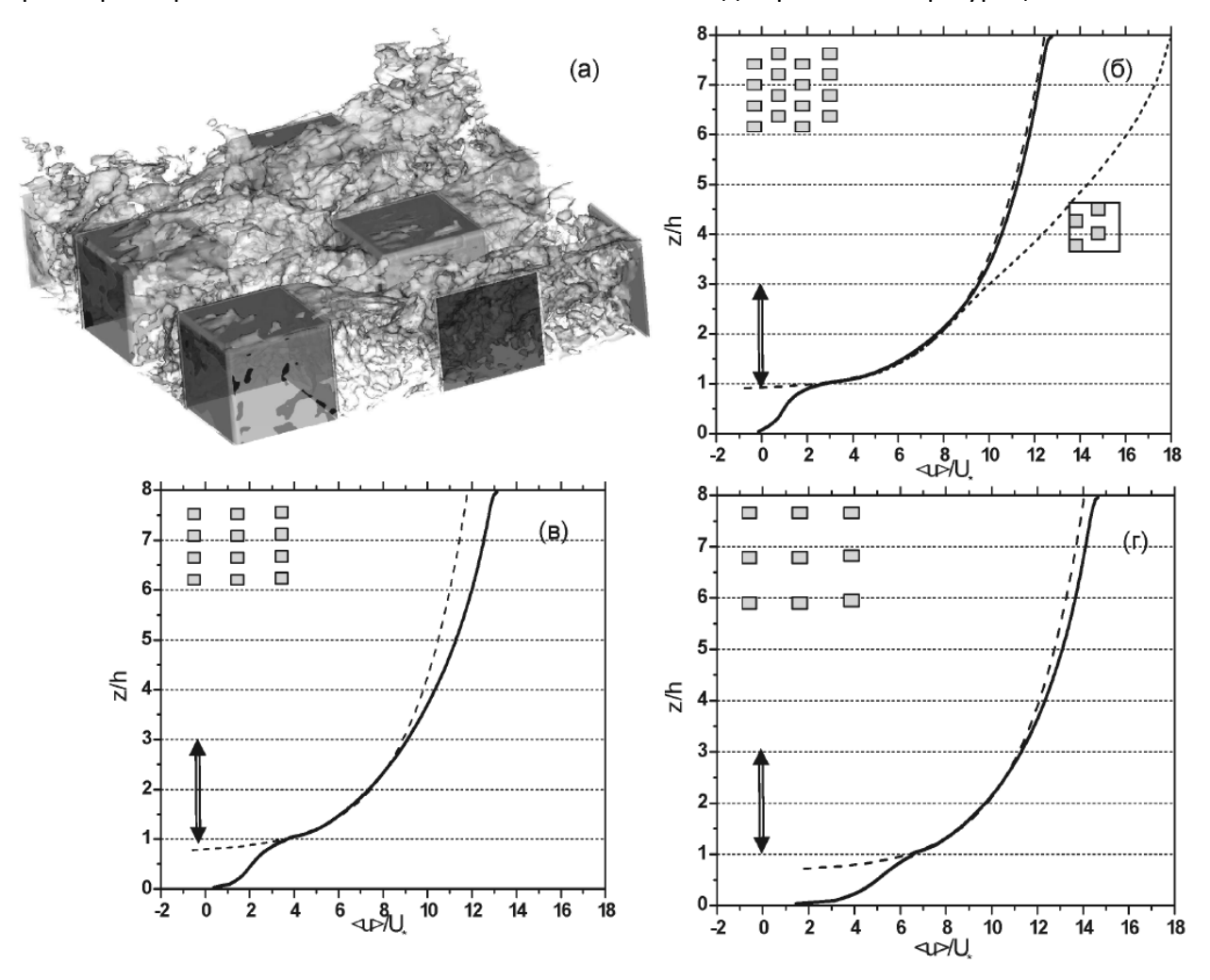
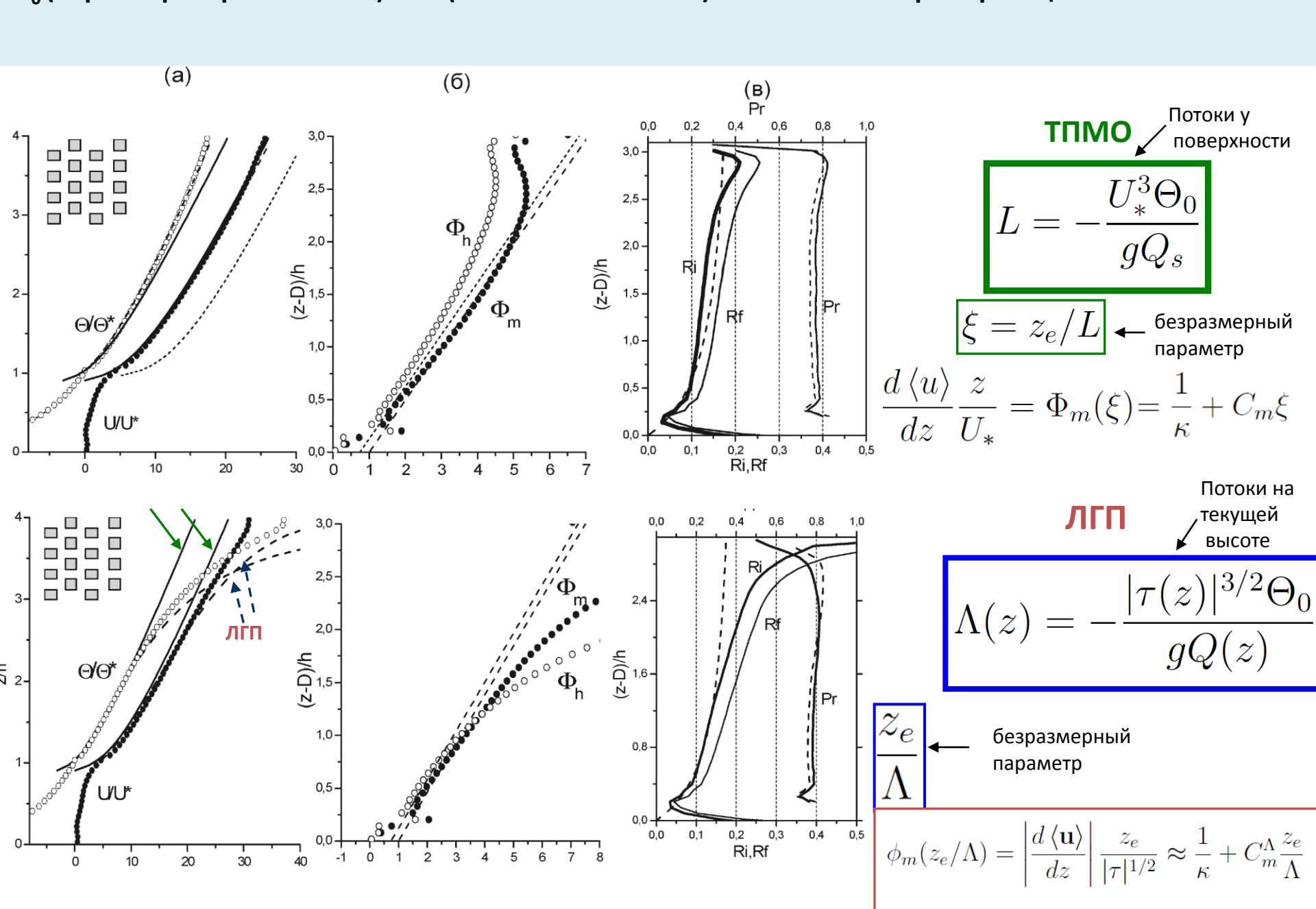


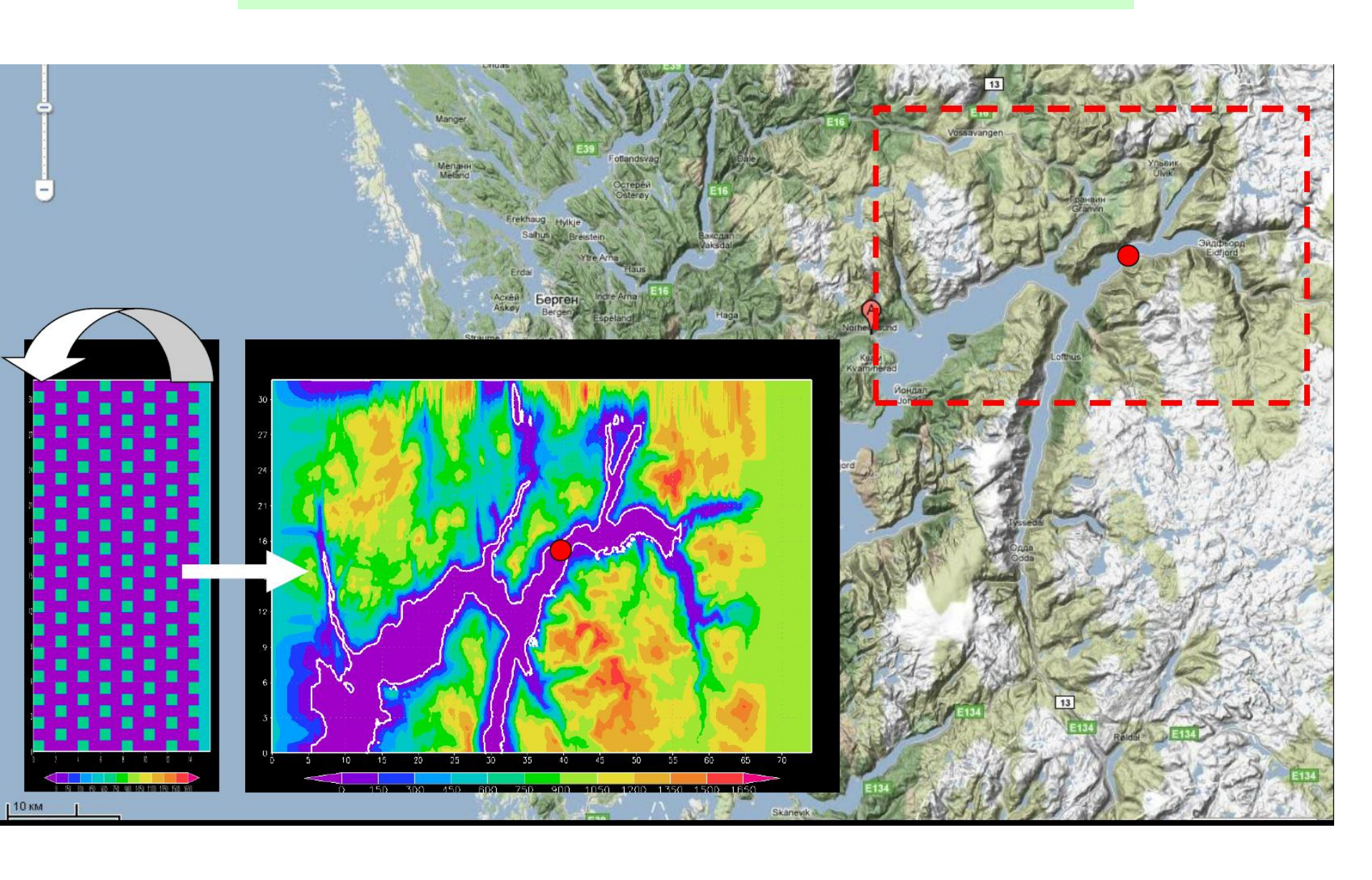
Рис. 4.1. (а)- периодически повторяющийся фрагмент расчетной области и изоповерхности модуля скорости ветра, взятые из расчета  $Exp_{n1}$ ; (б) - средняя скорость ветра в  $Exp_{n1}$  - сплошная линия, в  $Exp_{n1}^{sd}$  - короткий пунктир; (в,г) - средняя скорость ветра в  $Exp_{n2}$  и в  $Exp_{n3}$ . Длинным пунктиром нанесены логарифмические профили скорости  $U_{ln}$  с соответствующими каждому из расчетов значениями  $z_0$  и D.

1. Параметры, имеющие размерность длины и характеризующие свойства поверхности, z<sub>0</sub> (параметр шероховатости) и D (высота вытеснения) не зависят от стратификации.



#### Примеры использования LES-модели в прикладных задачах

Моделирование порывов ветра в норвежском фьорде



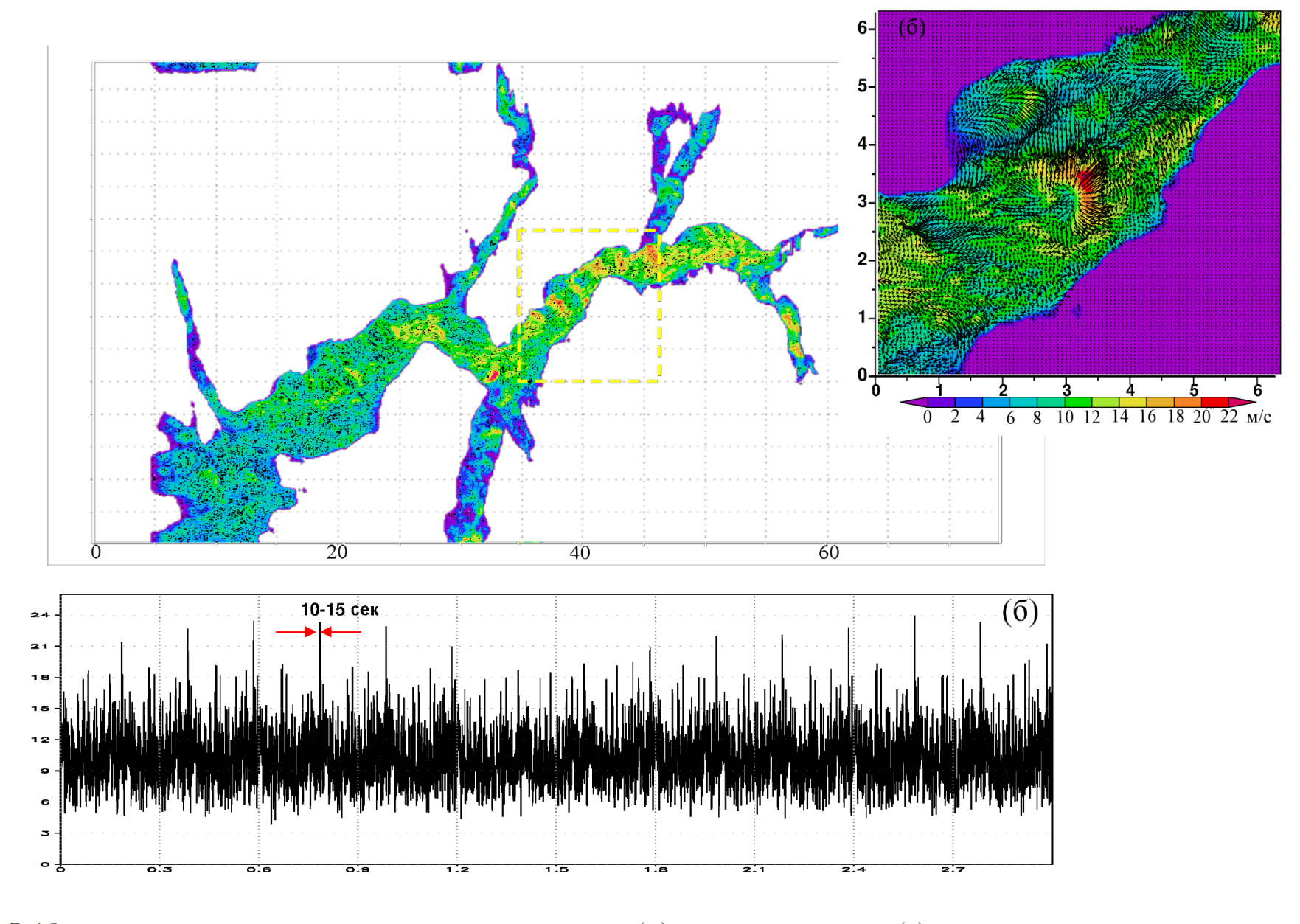
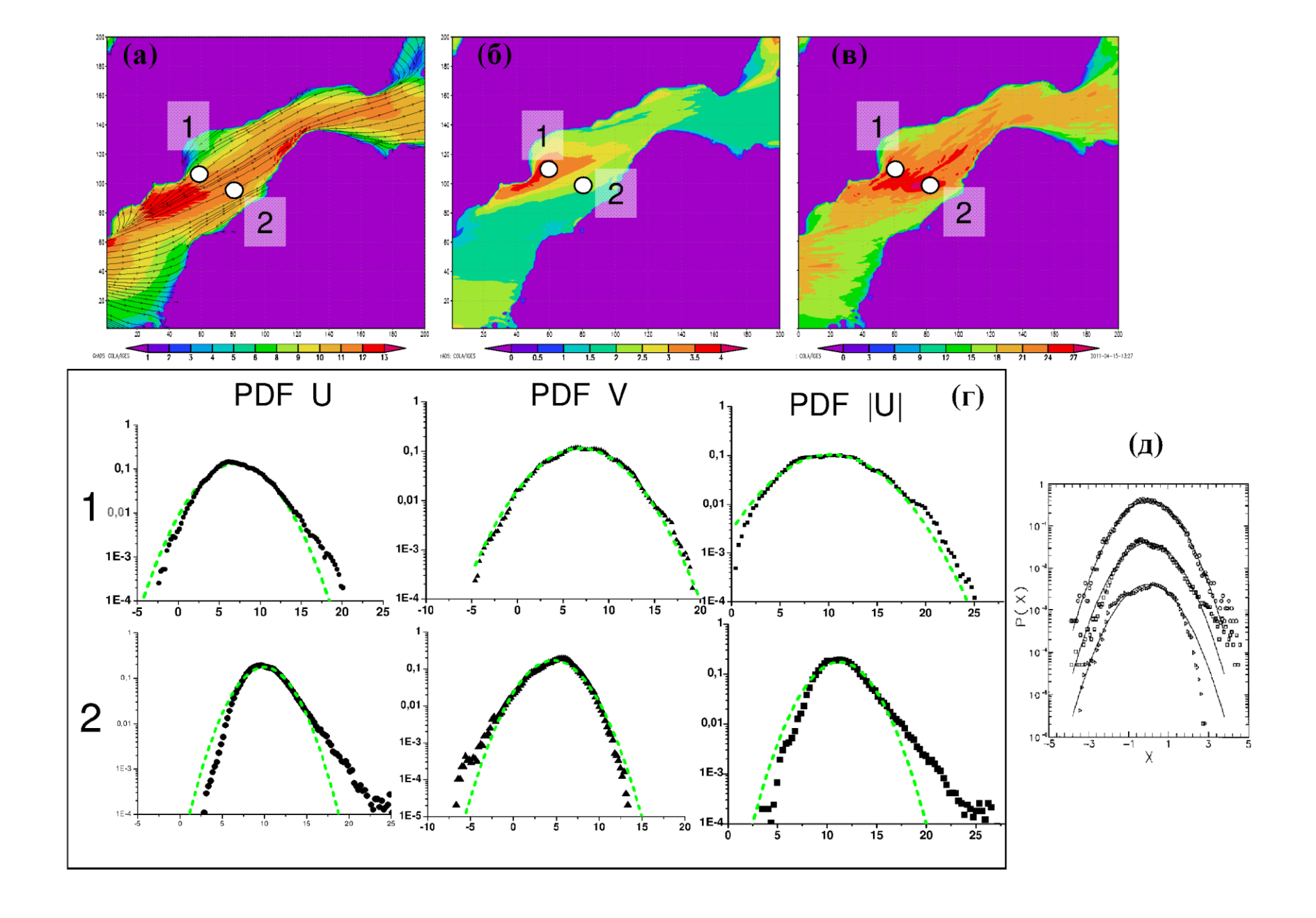


Рис. 5.18. Модуль скорости ветра у поверхности воды (a); временной ряд  $\overline{u}(t)$  за 3 часа модельного времени в одной из точек вблизи предполагаемого сооружения(б)



#### Лагранжев перенос трассеров.

#### Определение функции «футпринта» потока скаляра с поверхности

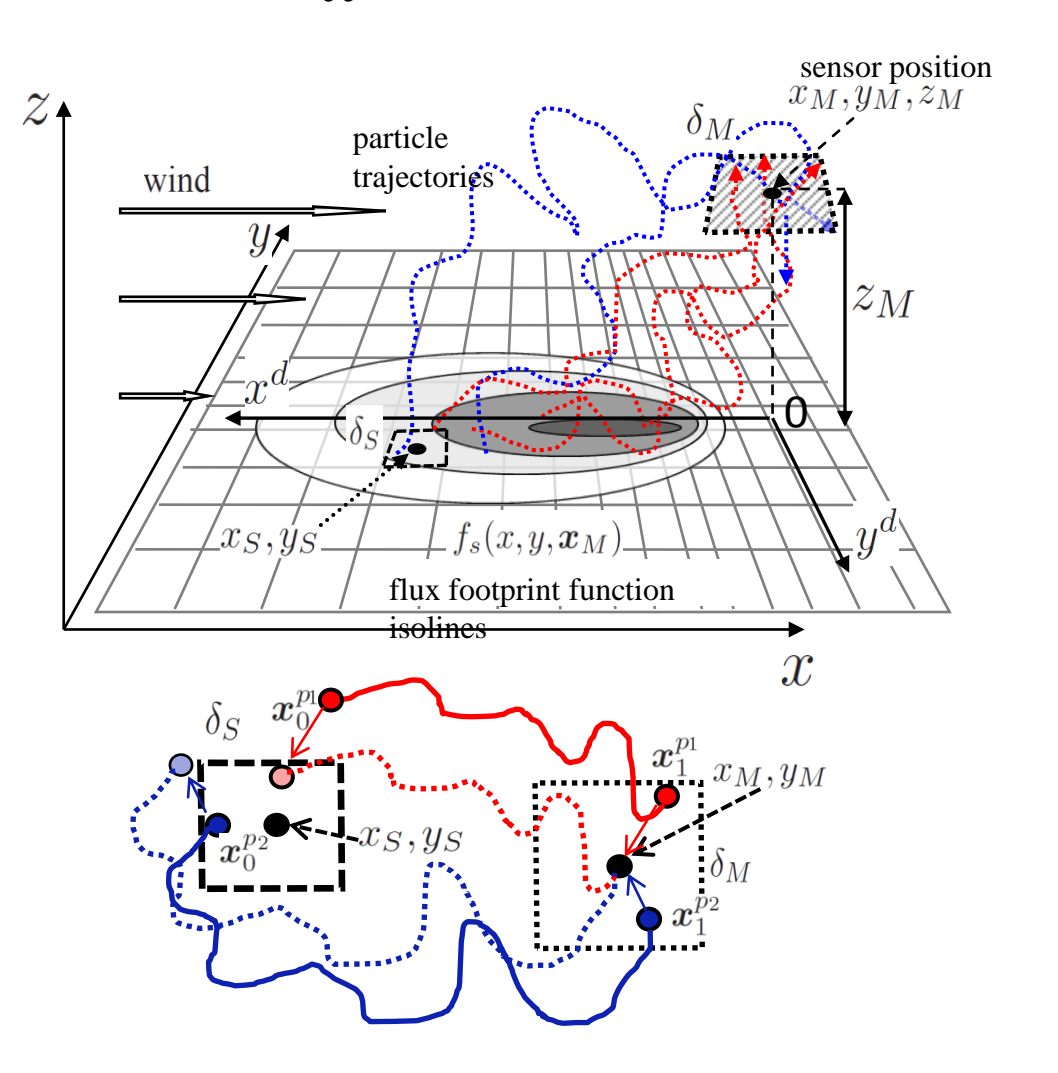
Над однородной поверхностью

статистически значимый результат можно получить при помощи осреднения по пространству

Над неоднородной поверхностью

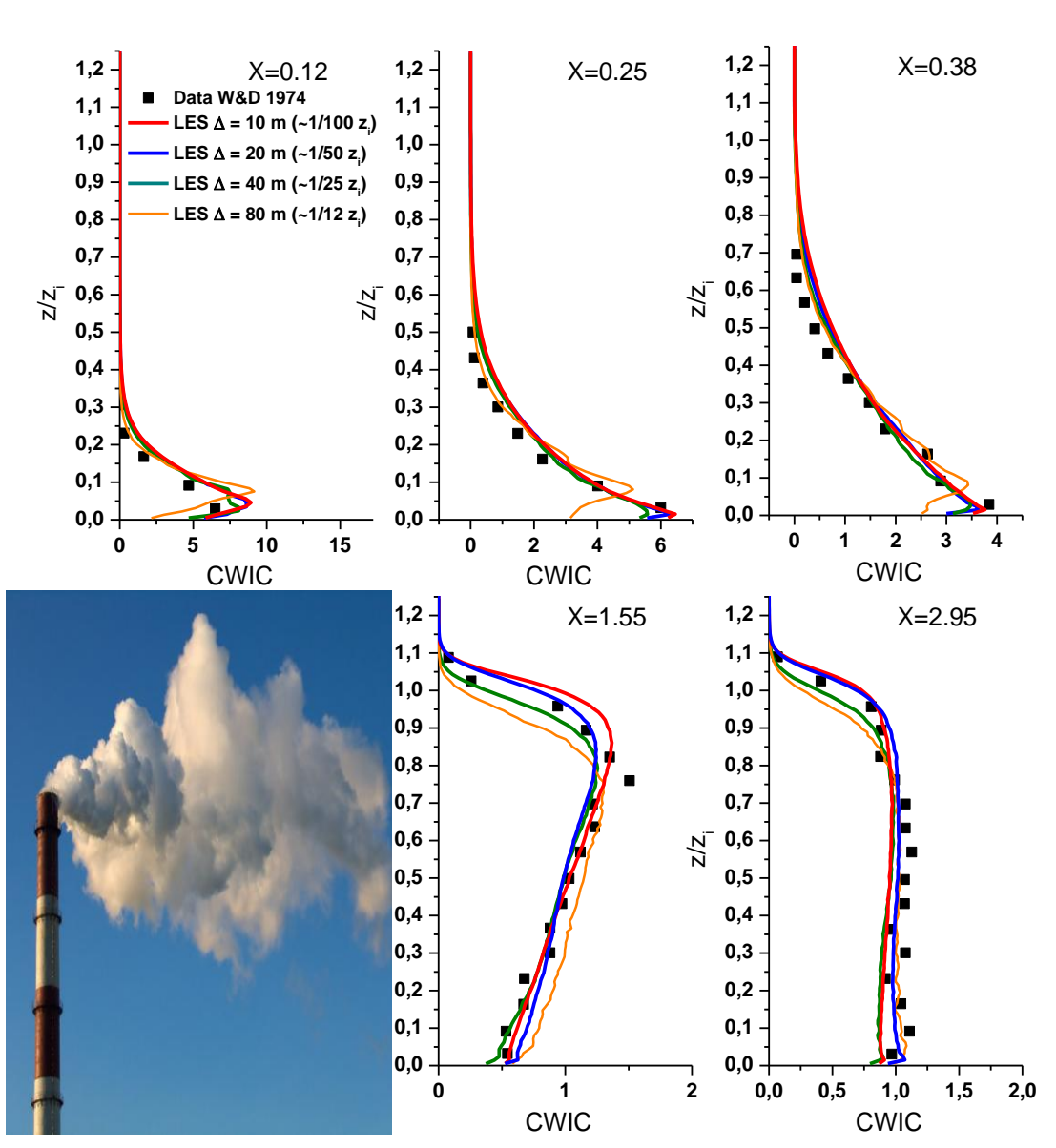
Требуется большое количество трассеров (~ 10<sup>2</sup> на каждую ячейку сетки модели) и длительное время интегрирования

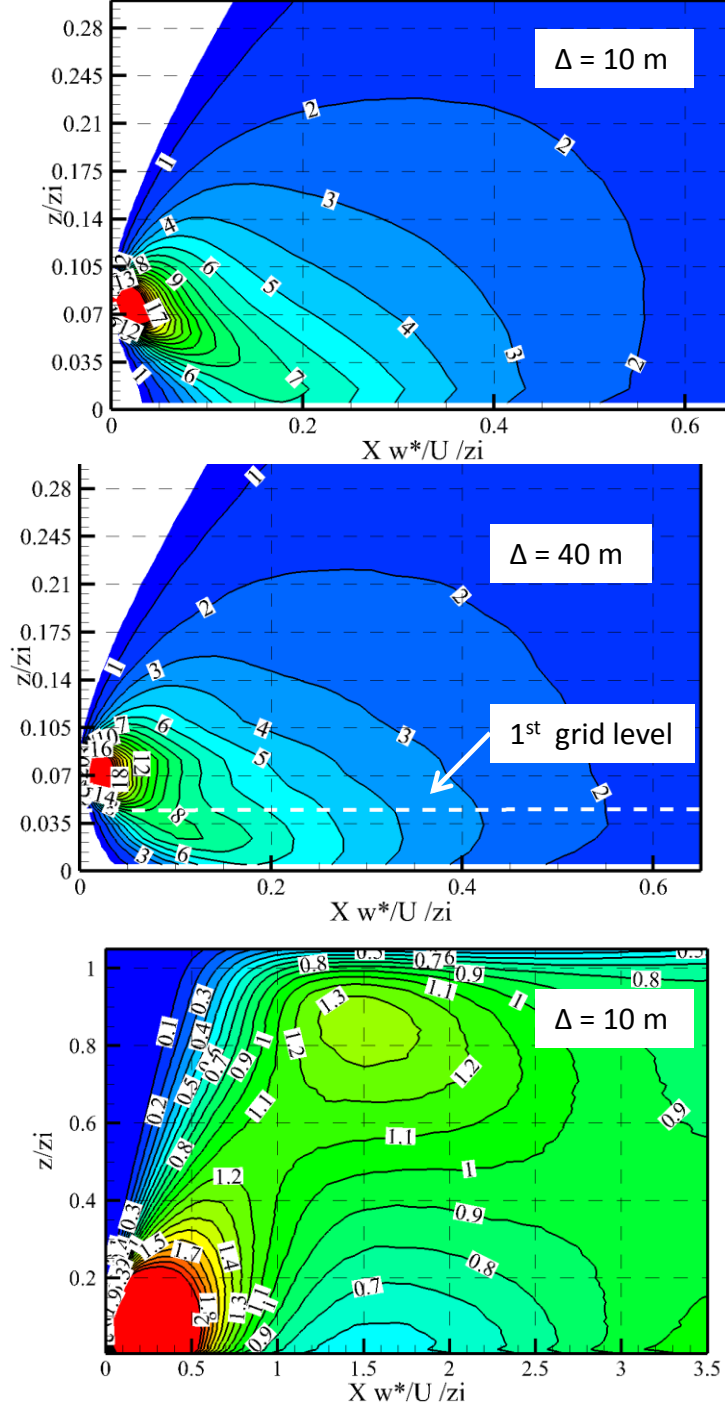
$$Q_p = \iint Q_s(x, y) f_s(x, y) dx dy$$

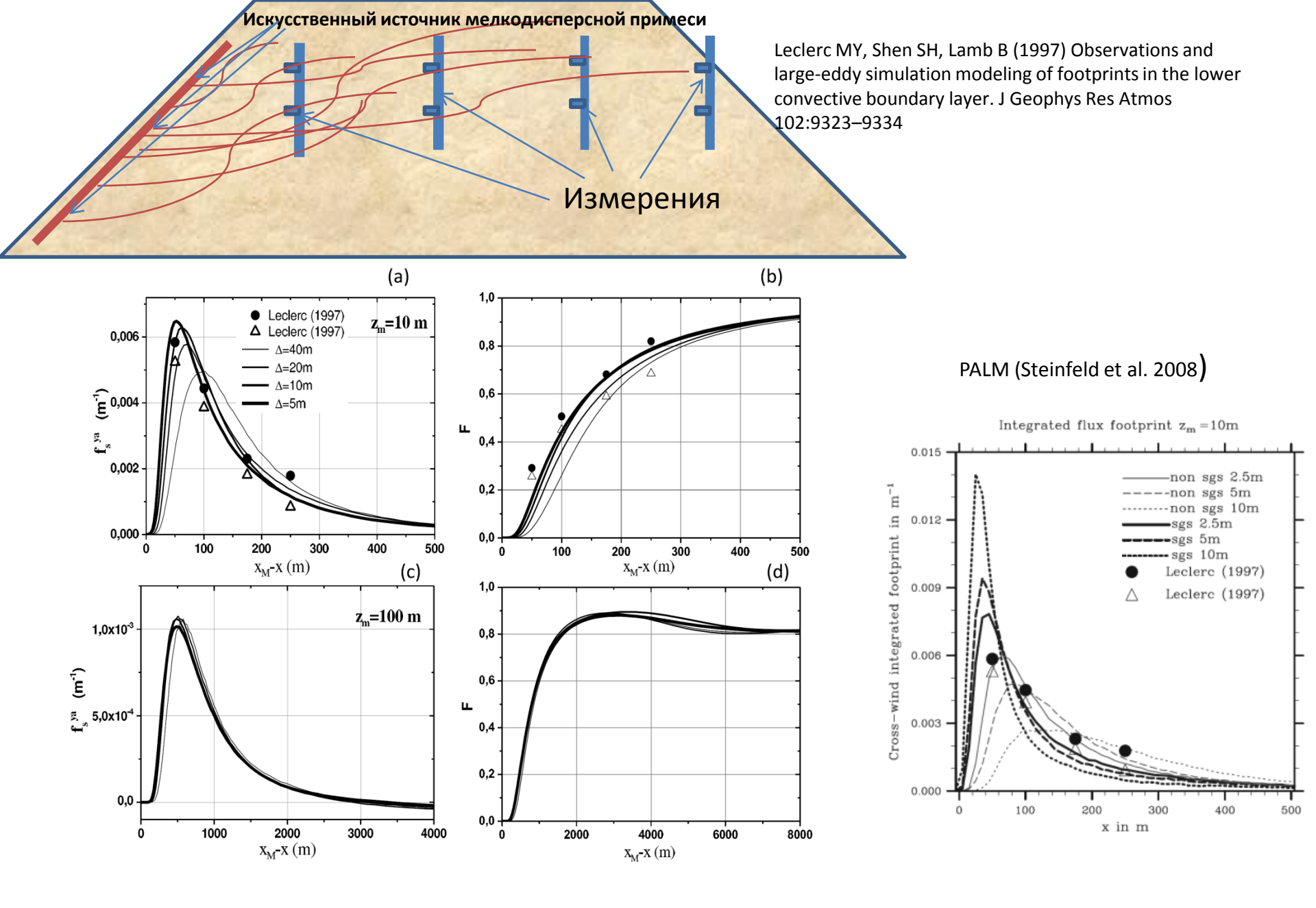


#### Сравнение с лабораторными данными

(Конвективный АПС - Масштаб Обухова  $L^{\sim}$  10м, высота АПС  $z_i^{\sim}$  1000 м) Концентрация примеси не расстоянии от приподнятого над поверхностью источника.







**Figure 15.** Footprints  $f_s^y$  (a,b) and cumulative footprints  $\mathbf{F}$  (c,d) for the sensor heights  $z_M$ =10m (a,b) and  $z_M$ =100m (c,d), computed with the different spatial resolution in LES. Symbols - observational data Leclerc et al. (1997)

#### Лагранжев перенос трассеров. Стохастические модели

Обобщенное уравнение Ланжевена (Броуновское движение частицы)

$$du_i^p = a_i(\mathbf{x}^p, \mathbf{u}^p, t)dt + b_{ij}(\mathbf{x}^p, \mathbf{u}^p, t)\xi_i^p$$
$$d\mathbf{x}^p = \mathbf{u}^p dt \qquad u_i^p = \langle u_i^{(p)} \rangle + u_i'^p$$

 $\xi$  - дельта-коррелированный (обычно Гауссов) случайный шум

$$\langle \xi_i^p(t)\xi_j^h(t+\tau)\rangle = \delta_{ij}\delta_{ph}\delta(\tau)dt$$

Универсальная константа ~ 6 ± 0.5

$$D( au) = \langle w(t+ au)w(t) \rangle = C_0 \epsilon au$$
 Теория К-41  $b_{ij} = \delta_{ij} \sqrt{C_0 \epsilon}$ 

Для однородной изотропной турбулентности:

$$a_i^p = -\frac{u_i^p}{T_L}, \quad T_L = \frac{4}{3} \frac{E}{C_0 \epsilon}$$

Для неоднородной турбулентности обычно применяется условие «хорошего перемешивания» (Tomson,1987), следующее из соотношения между плотностью вероятности лагранжевой скорости и плотностью вероятности эйлеровой скорости:

$$p_E(\mathbf{x}, \mathbf{u}, t) = \int_{R^3} p_L(\mathbf{x}, \mathbf{u}^p, t | \mathbf{x_0}) d\mathbf{x_0}$$

$$\frac{\partial p_E}{\partial t} + u_i \frac{\partial p_E}{\partial x_i} + \frac{\partial}{\partial u_i} \Phi_i = 0, \quad \Phi_i = a_i p_E - \frac{C_0 \epsilon}{2} \frac{\partial p_E}{\partial u_i}$$

## Модель случайных смещений

$$\frac{\partial \langle s \rangle}{\partial t} + \langle u_i \rangle \frac{\partial \langle s \rangle}{\partial x_i} = \frac{\partial}{\partial x_i} K_s \frac{\partial \langle s \rangle}{\partial x_i} + Q_s \quad \text{Уравнение адвекции-диффузии Концентрации скаляра}$$
 
$$\langle s(\mathbf{x},t) \rangle = \int\limits_{R^3 - \infty}^t Q_s(\mathbf{x_0},t_0) P(\mathbf{x},t|\mathbf{x_0},t_0) d\mathbf{x_0} dt_0$$
 
$$dx_i^p = \langle u_i \rangle dt + \frac{\partial K_s}{\partial x_i} dt + \sqrt{2K_s} \xi_i^p$$
 
$$\langle \xi_i^p(t) \xi_j^h(t+t') \rangle = \frac{\langle u_i' u_j' \rangle}{\sigma_i \sigma_j} \delta_{ph} \delta(t') dt$$

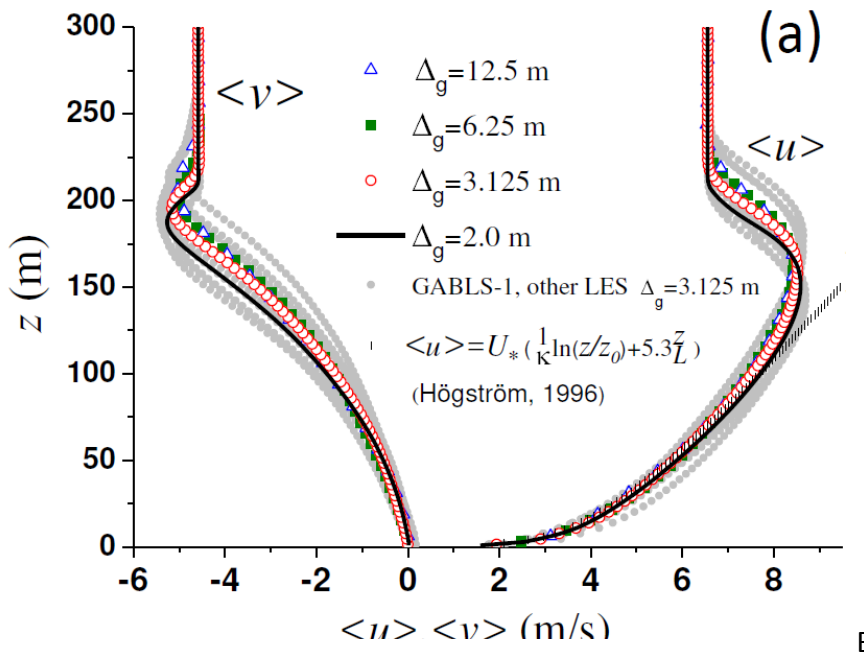
Стохастические модели могут применяться в LES для описания флуктуаций скорости частицы, связанных с «подсеточной» турбулентностью

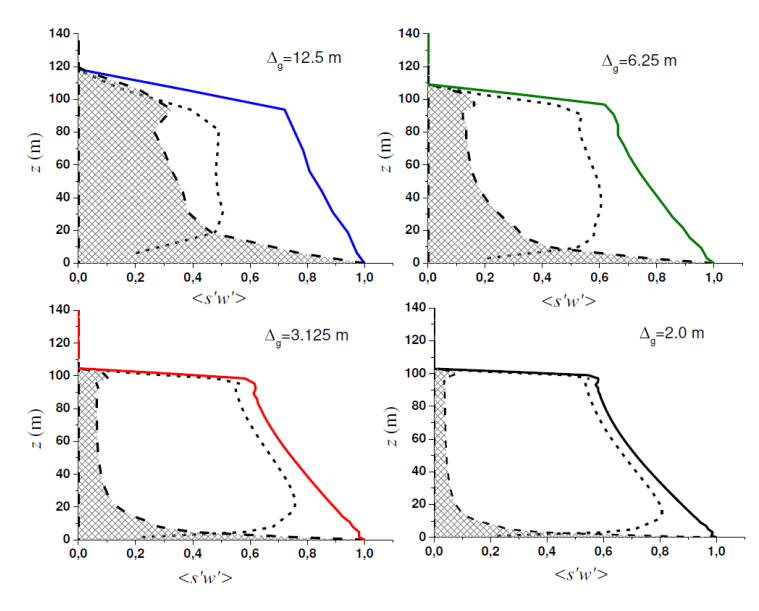
- «Подсеточные» стохастические параметризации требуют больших вычислительных затрат

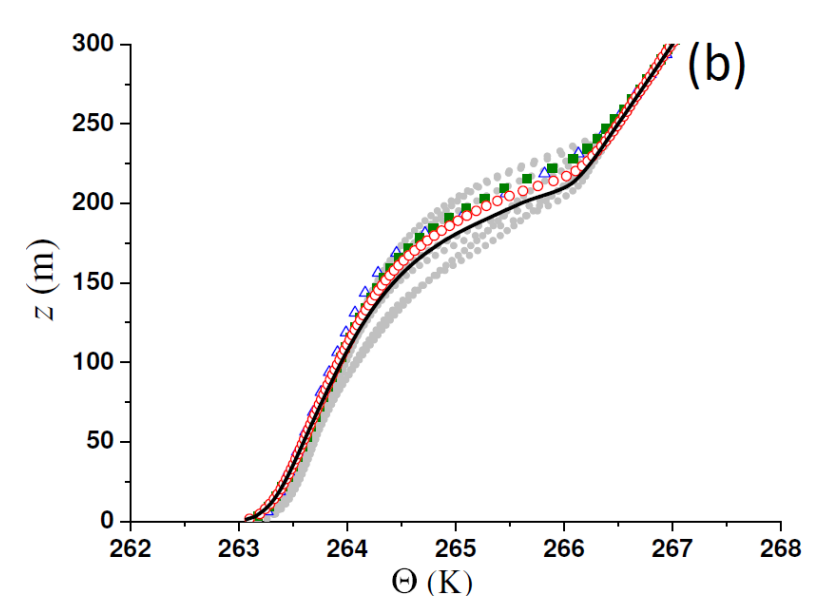
# Устойчиво –стратифицированный



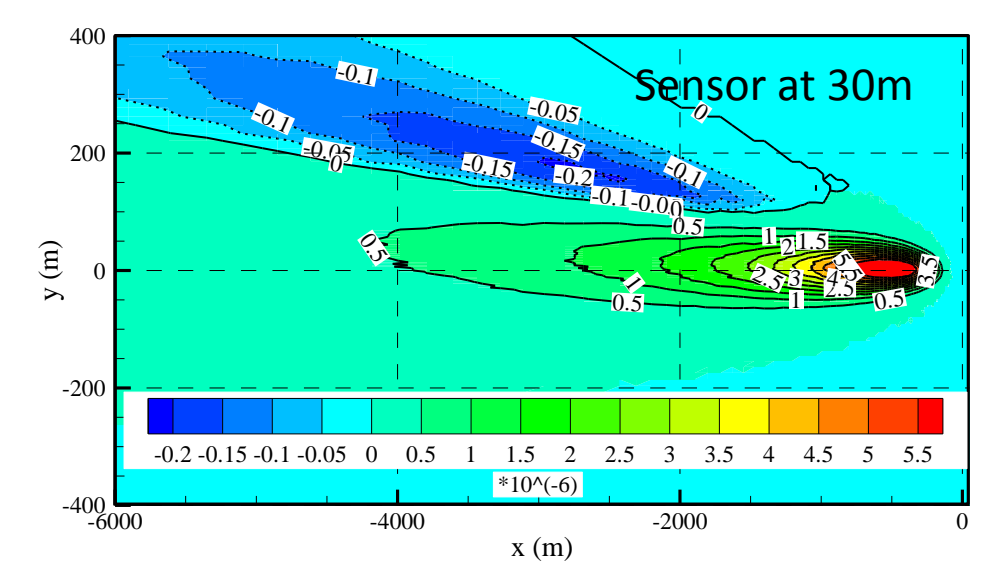
Турбулентность носит мелкомасштабный характер. Существенная часть переноса скаляров обеспечивается подсеточными процессами. Требования к качеству LES-моделей возрастают







Вычисляя траектории большого количества частиц ( $^{\sim}10^{8}$ ), можно определить двумерную функцию футпринта потока с поверхности.



## «Дефильтрация» скорости (детерминистический подход) и Лагранжевы стохастические «подсеточные» модели (сравнение).

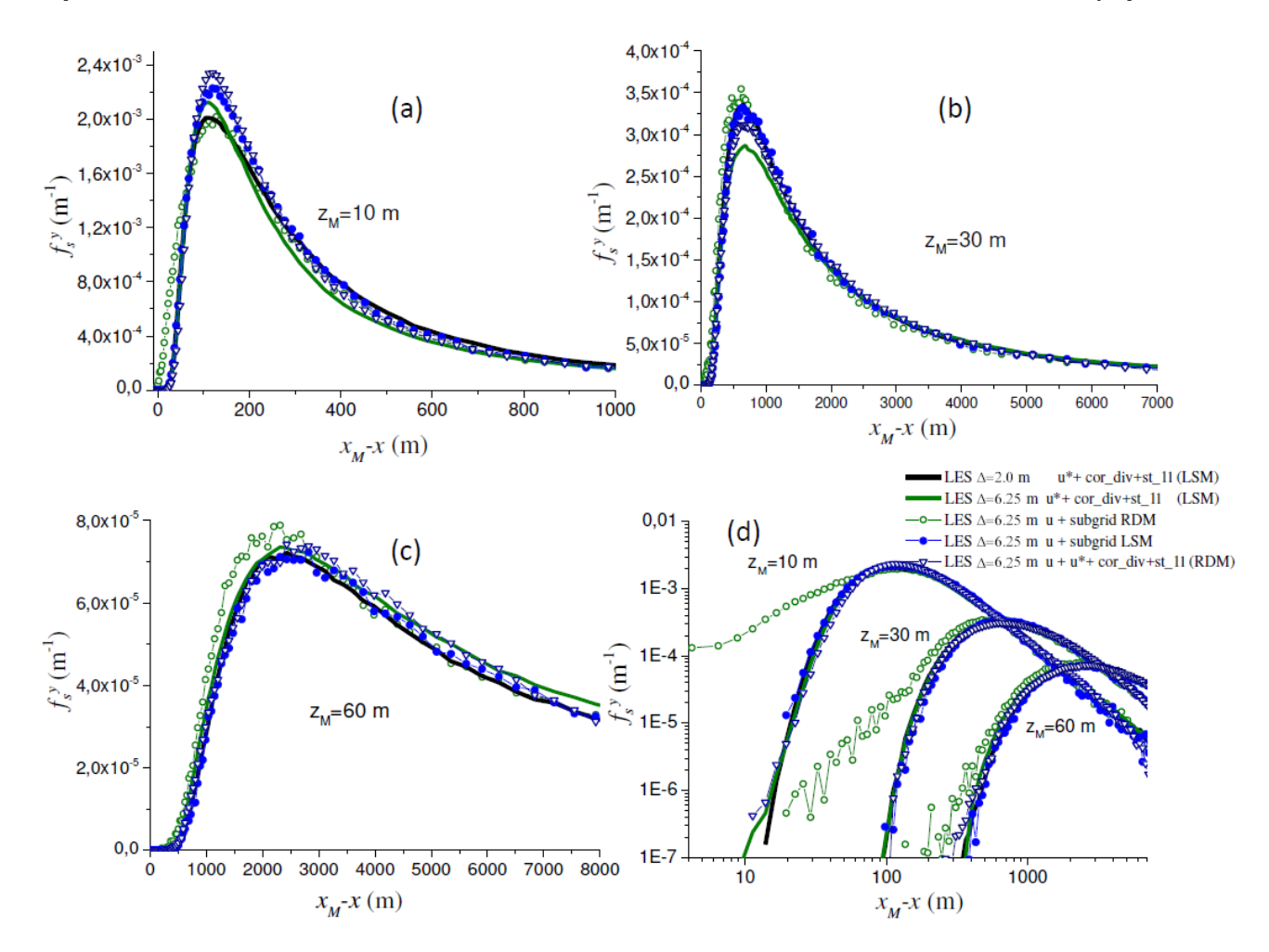
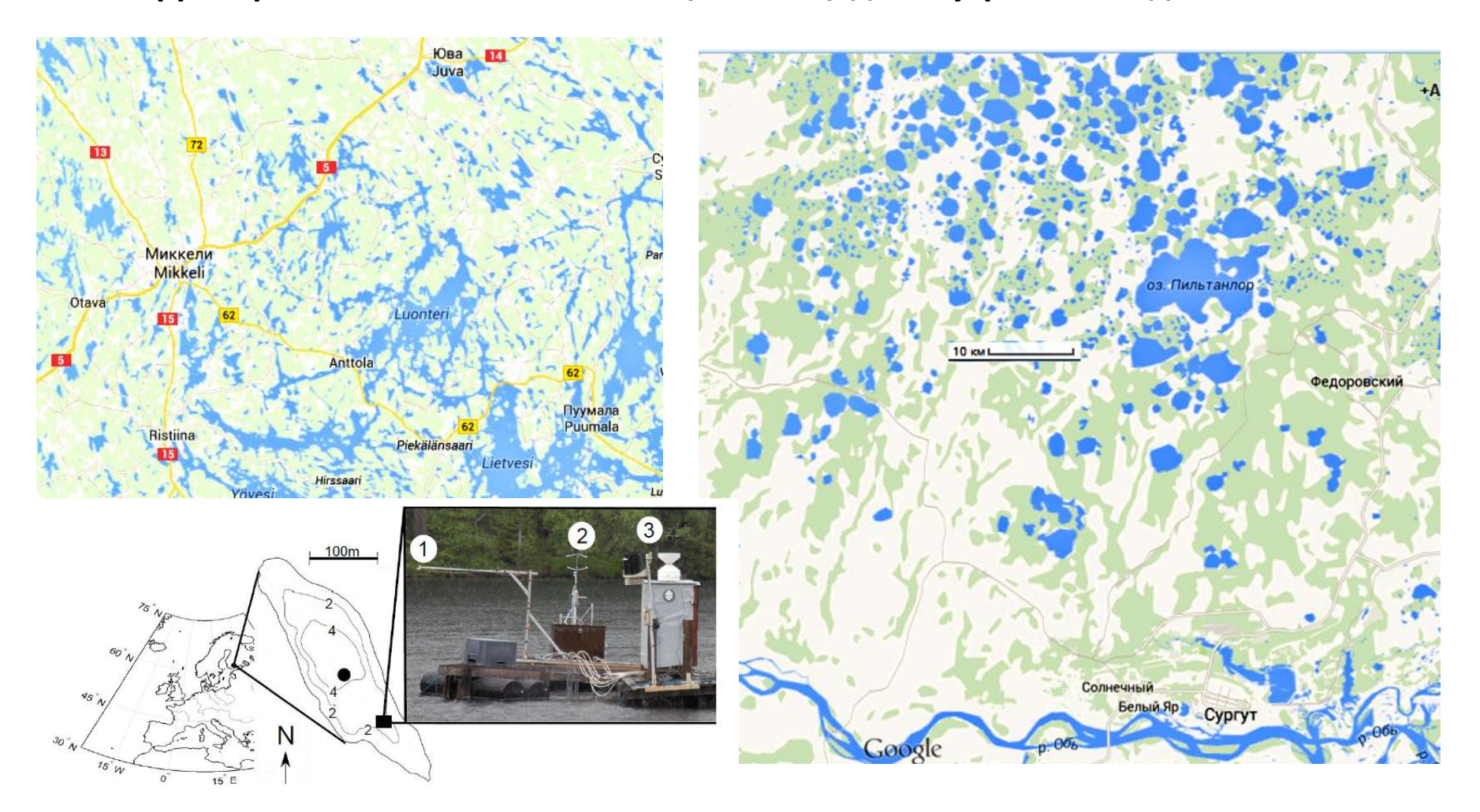
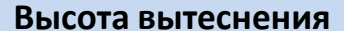


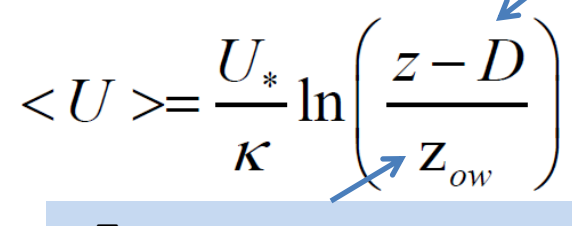
Figure 7. Crosswind-integrated scalar flux footprints  $f_s^y$ , obtained in LES with  $\Delta_g = 6.25$  m using different stochastic Lagrangian subgrid models RDM (Eq. 33) and LSM (Eqs. 28–32). The results obtained with these subgrid models applied within the first computational grid layer in combination with velocity recovering  $u^* = F^{-1}\overline{u}$  and correction of velocity (Eqs. 34 and 35) are also shown. Black lines are the footprints in LES with  $\Delta_g = 2.0$  m.

Общее количество озер с площадью менее 10 км<sup>2</sup> составляет 99,9 % от числа внутренних водоемов на поверхности Земли, а их суммарная территория составляет 54% от общей площади внутренних водоемов



Для современных моделей прогноза погоды и климата требуется вычисление балансов тепла, влаги и газовых примесей на поверхности с учетом наличия водных объектов подсеточного масштаба.





Параметр шероховатости

Растительность

 $z_{0w} >> z_{0l}$ h

 $D \sim 0.7 - 0.9 \, h \sim 10 \, m$ 

 $z_{0w} \sim 0.05 h \sim 0.5 m$ 

$$z_{0l} \sim 10^{-3} - 10^{-4} \text{ m}$$

Потоки тепла, импульса, CO<sub>2</sub>, CH<sub>4</sub>, H<sub>2</sub>O....

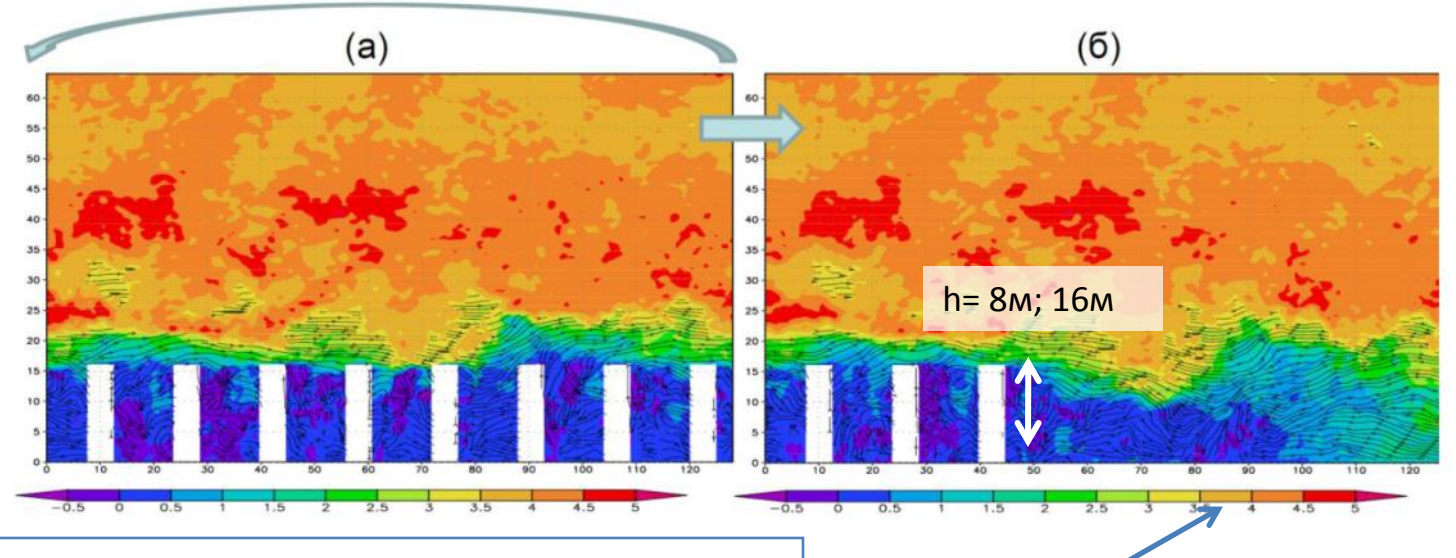
Озеро

Средняя

скорость

ветра

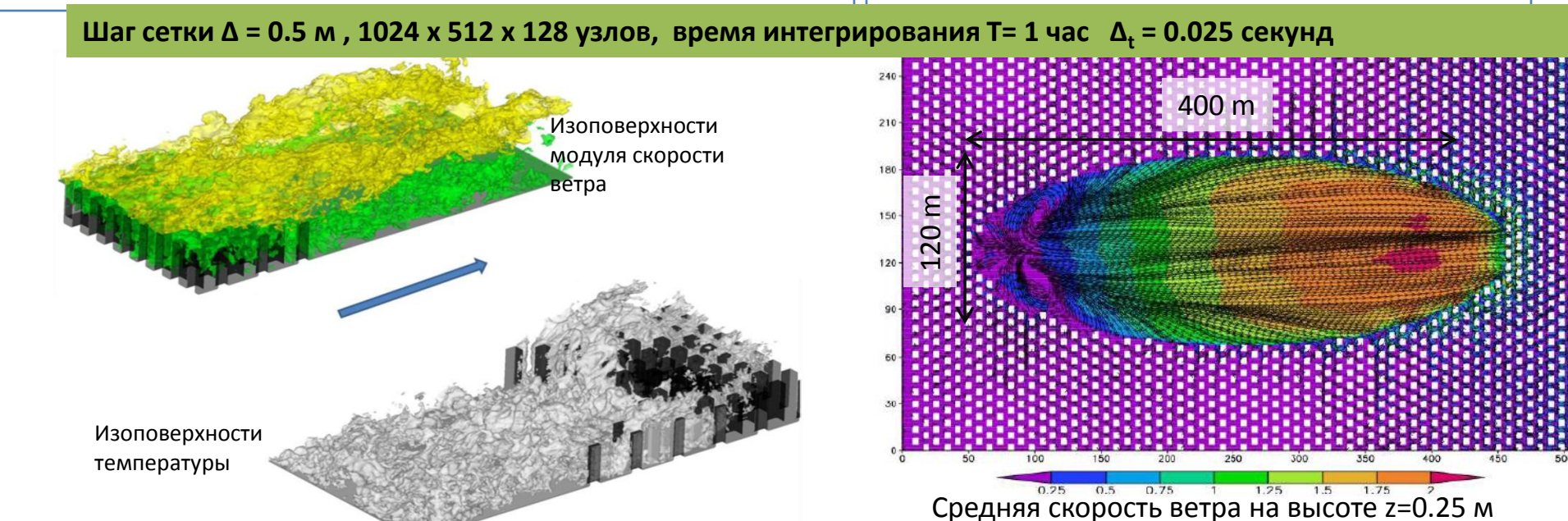
Измерения?

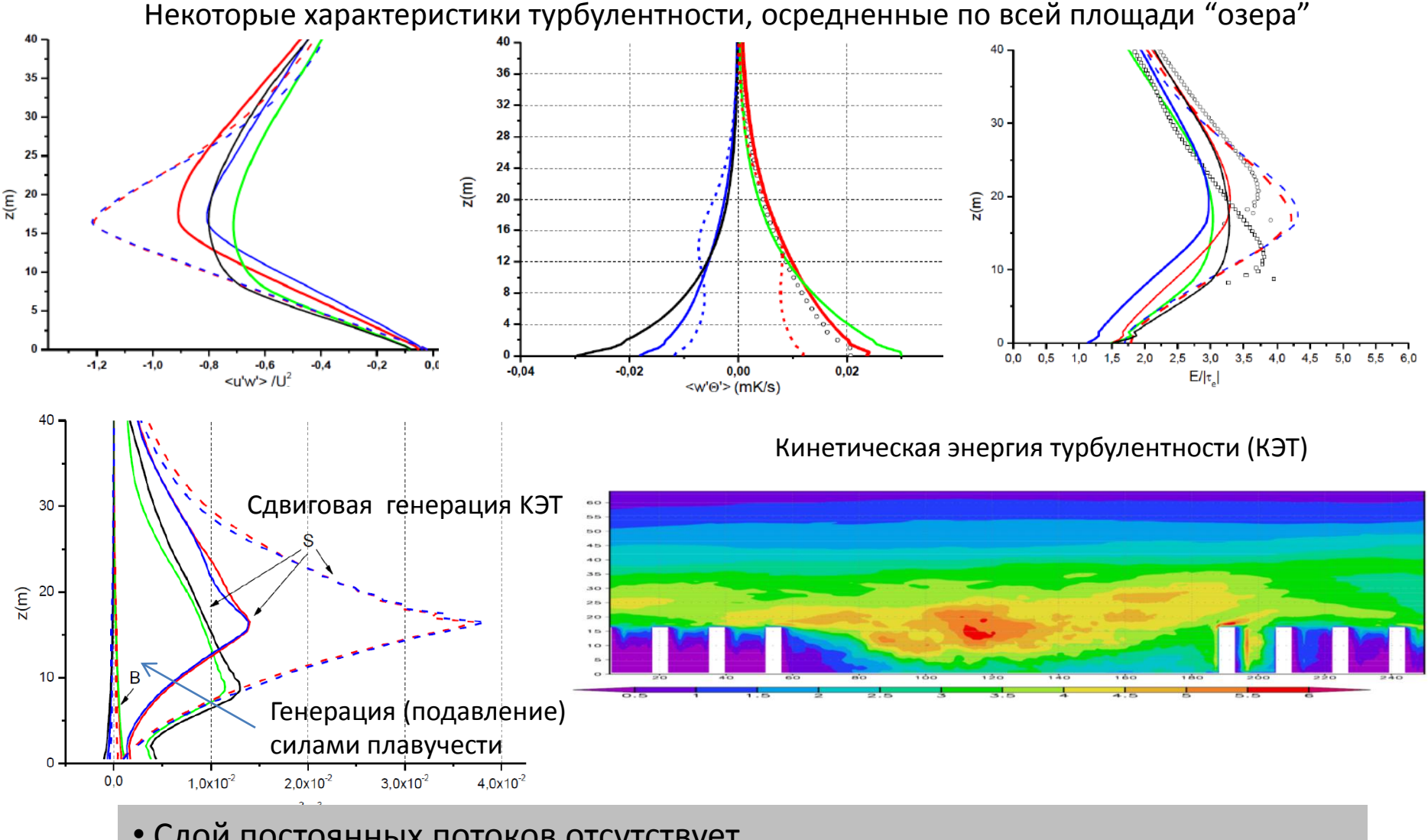


Турбулентный поток генерируется вспомогательной моделью (а) с двоякопериодическими граничными условиями и с заданным массивом объектов на поверхности. Значения  $z_{0w}$  и D соответствуют типичным значениям для лесной растительности

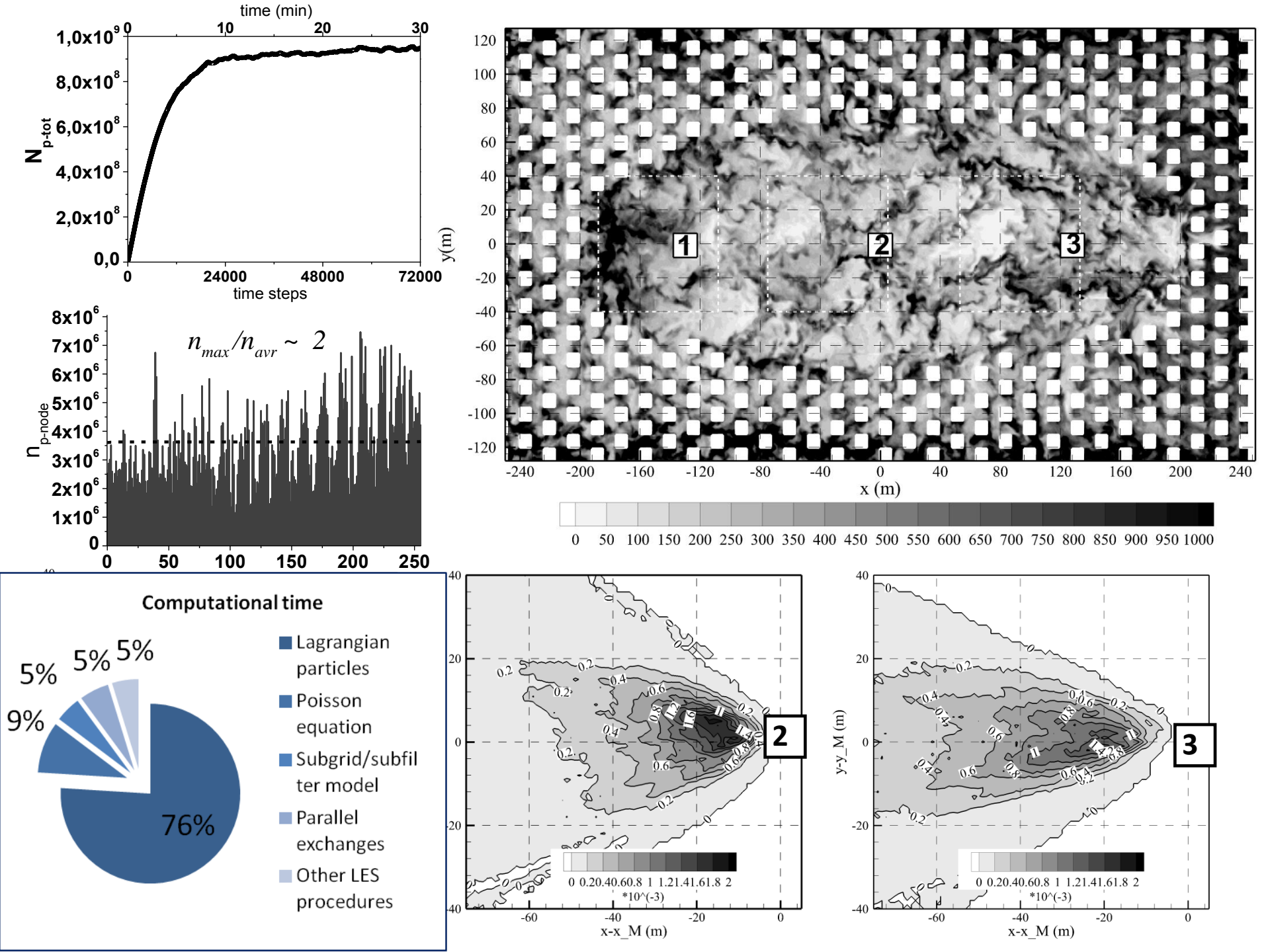
Непериодическая расчетная область (б), включающая "озеро".

$$z_{0l} = 10^{-4} m$$
  
 $T_s^{lake} = T^{air} \pm 5^{0}C$ 





- Слой постоянных потоков отсутствует (Существенная часть тепла и влаги переносится над озером в горизонтальном направлении)
- Очень слабая чувствительность к стратификации (ТПМО неприменима для вычисления турбулентных потоков над «озером»)



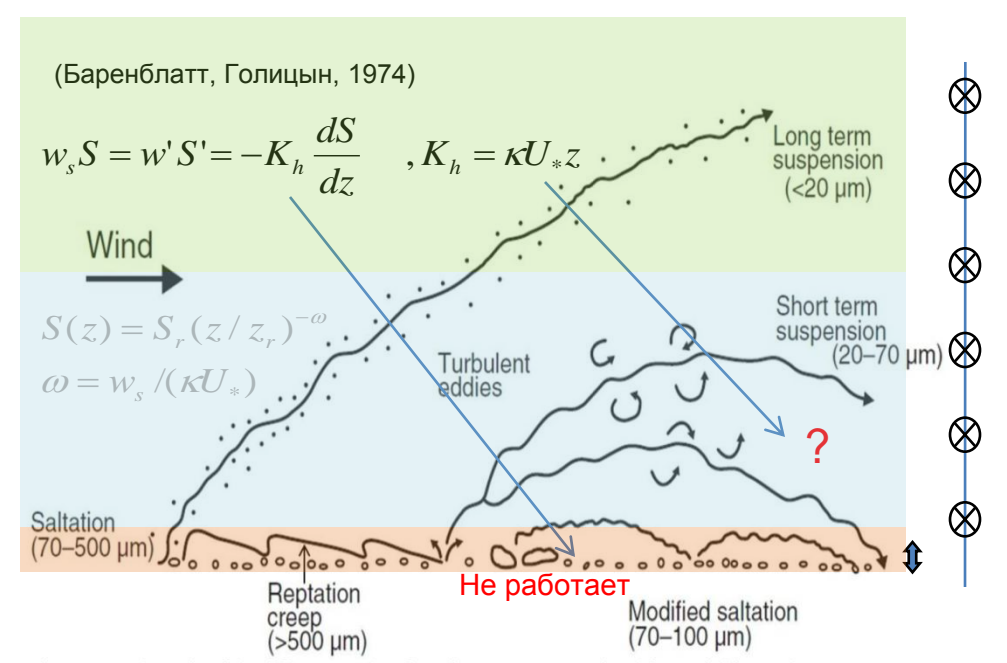
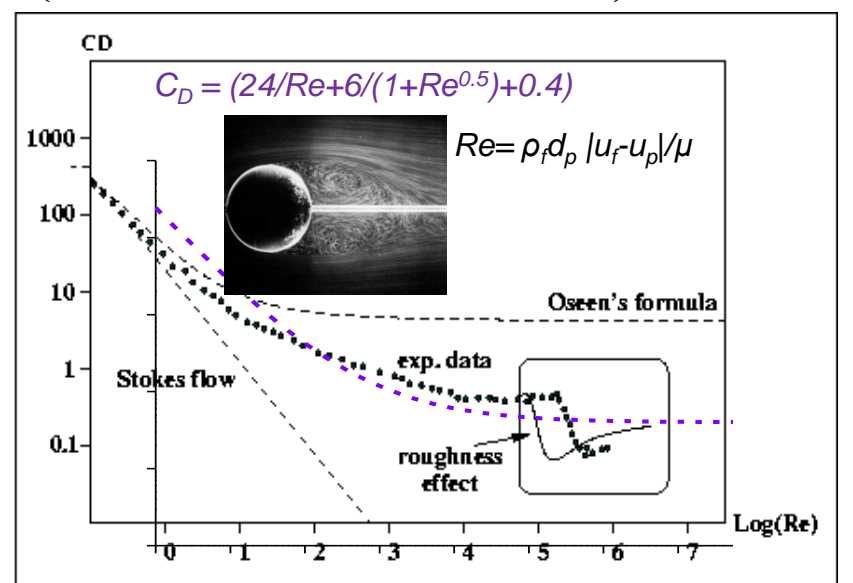


Figure 1.1. Schematic of the different modes of aeolian transport. Reprinted from Nickling and McKenna Neuman (2009), with kind permission from Springer Science+Business Media B.V.

$$du_{i}^{p} = \left(\frac{3}{4} \frac{C_{D}}{d_{p}} \frac{\rho_{f}}{\rho_{p}} | \vec{u}_{f} - \vec{u}_{p} | (u_{fi} - u_{pi}) - \delta_{i3}g\right) dt, \quad u_{fi} = \overline{u}_{fi} + u'_{i}$$



~10¹-10³ м Перенос и турбулентная диффузия мелкодисперсных примесей.

Применимы подходы для пассивных трассеров

Слой равновесия между турбулентным перемешиванием и гравитационным оседанием ~1-10 м

Взвесь воздействует на турбулентность в основном за счет изменения суммарной плотности двуфазной жидкости

Нужно ли учитывать эффекты инерции частиц, турбофорез?

#### Параметризации для LES:

- 1) Подсеточная стохастика с учетом инерции частиц.
- 2) Обратное влияние ансамбля частиц на разрешаемую и подсеточную турбулентность (возможно осреднение на масштабах шага сетки)

#### Слой сальтации ~10-2 м

Непосредственное воздействие индивидуальной динамики частиц на турбулентность в энергонесущем интервале. Важная роль молекулярной вязкости. Столкновения частиц. Проблемы с представлением частицы как материальной точки (ВВО уравнение, силы связанные с вращением и сдвигом скорости на масштабе размера частицы ...}

#### Параметризации для LES:

#### 1) Обмен частицами на поверхности:

динамическое вовлечение частиц с поверхности, многократные отражения, выбивание новых частиц старыми (эмпирические зависимости, случайные процессы с заданными функциями распределения)

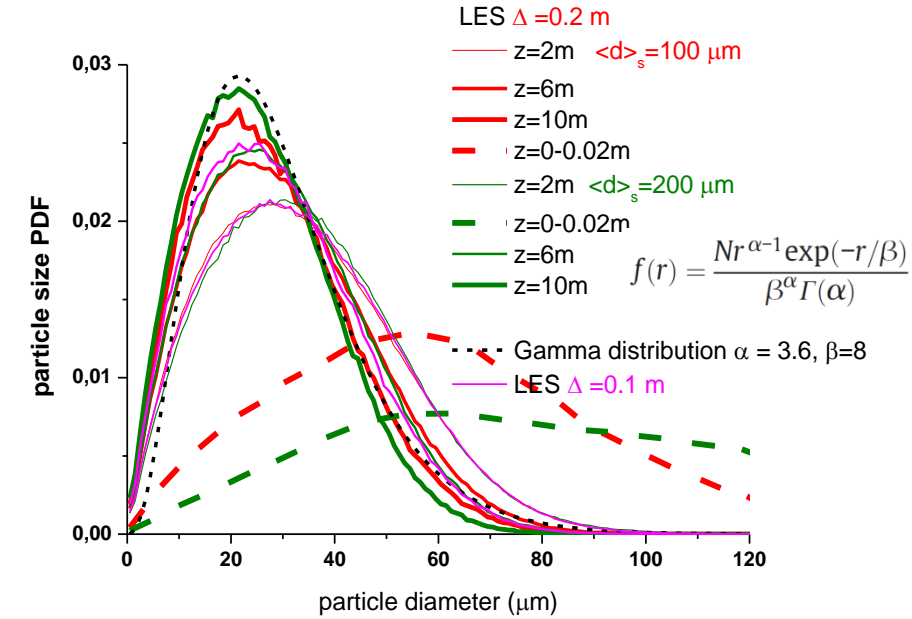
#### 2) Воздействие слоя сальтации на внешний поток:

**Изменение динамической и термической шероховатости** поверхности:

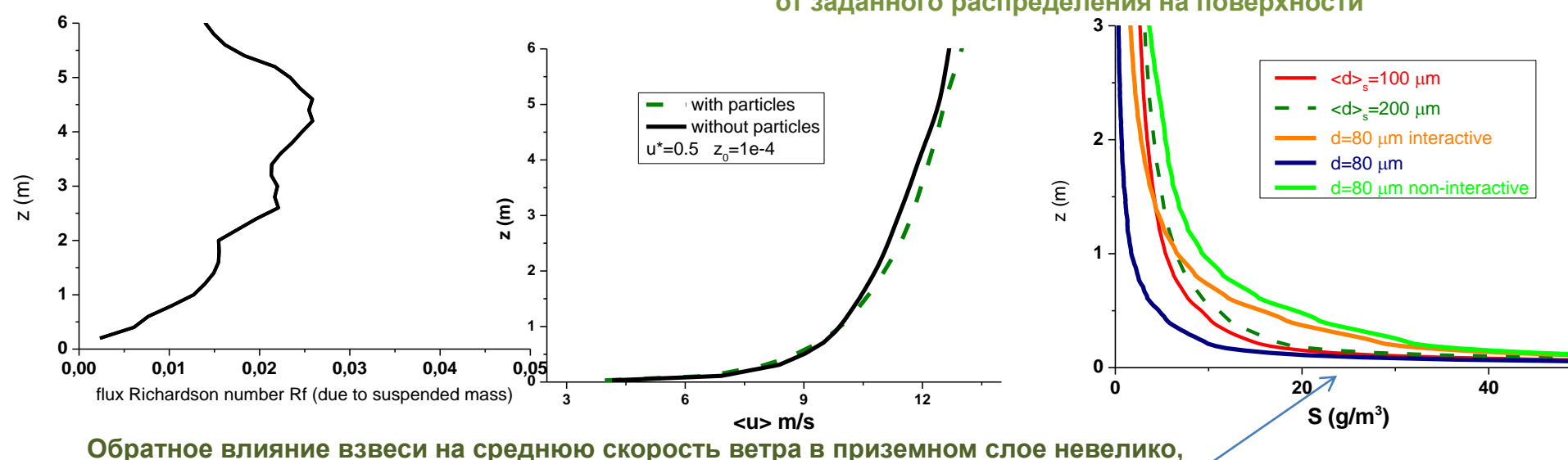
$$z_0 = z_{0i} + a U_*^2/g$$
 ?

LES, перенос взвесей тяжелых частиц в приземном слое (поземка, пылевой перенос)



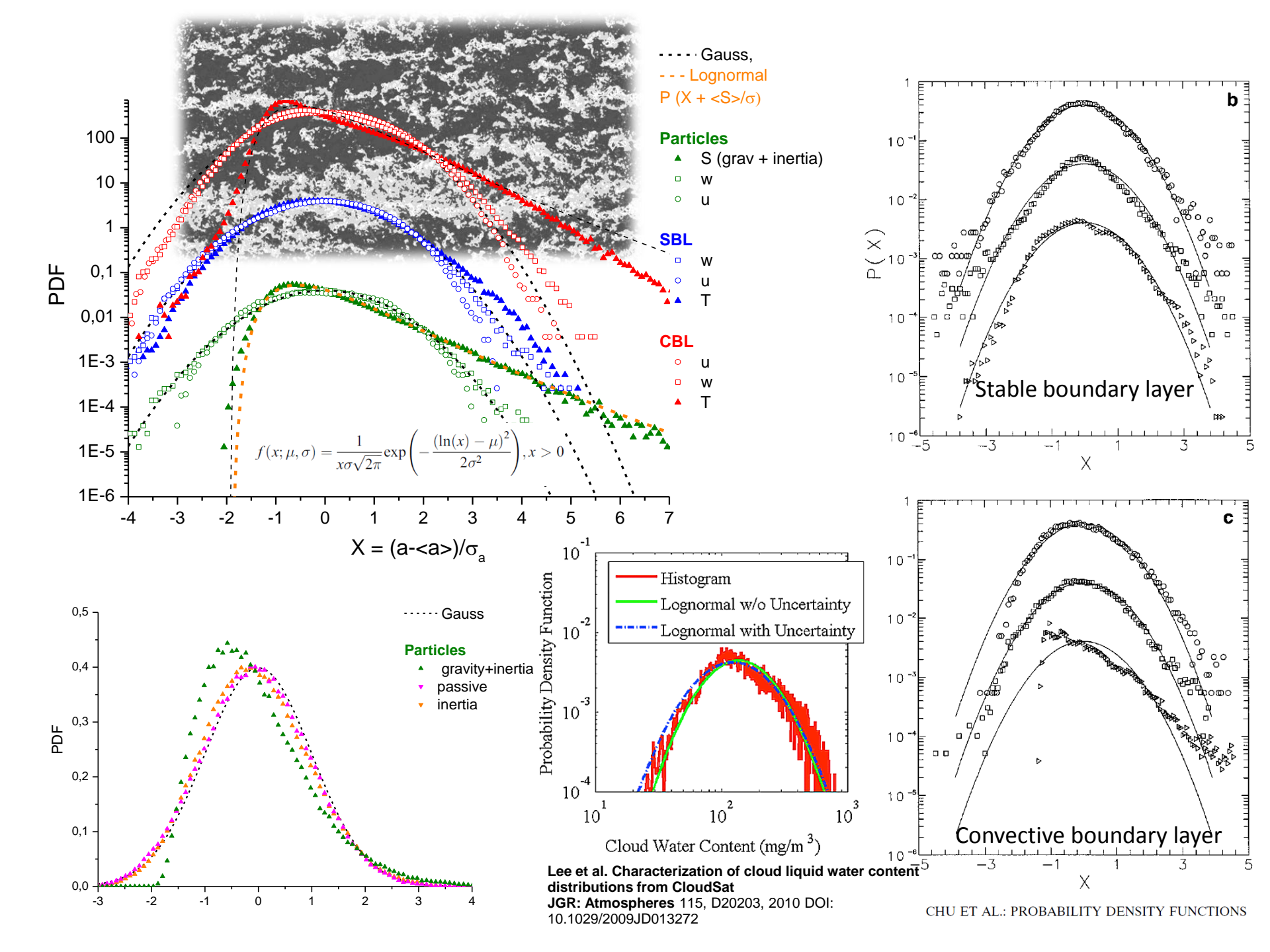


+ Распределение частиц взвеси по размерам слабо зависит от заданного распределения на поверхности



однако, тяжелые инерционные частицы имеют тенденцию к кластеризации,

поэтому, локальным обратным воздействием частиц на поток пренебречь нельзя.



# Перенос примесей в городской среде

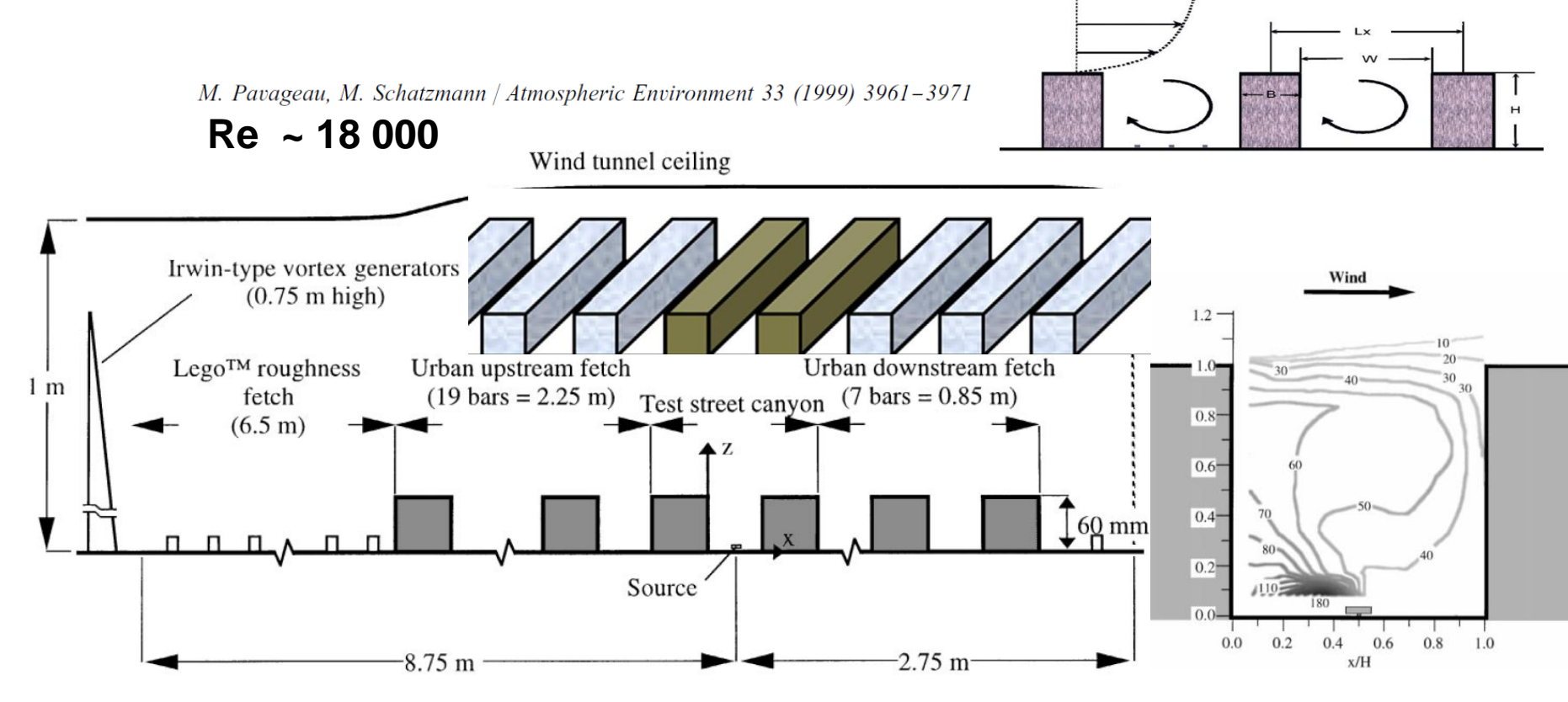
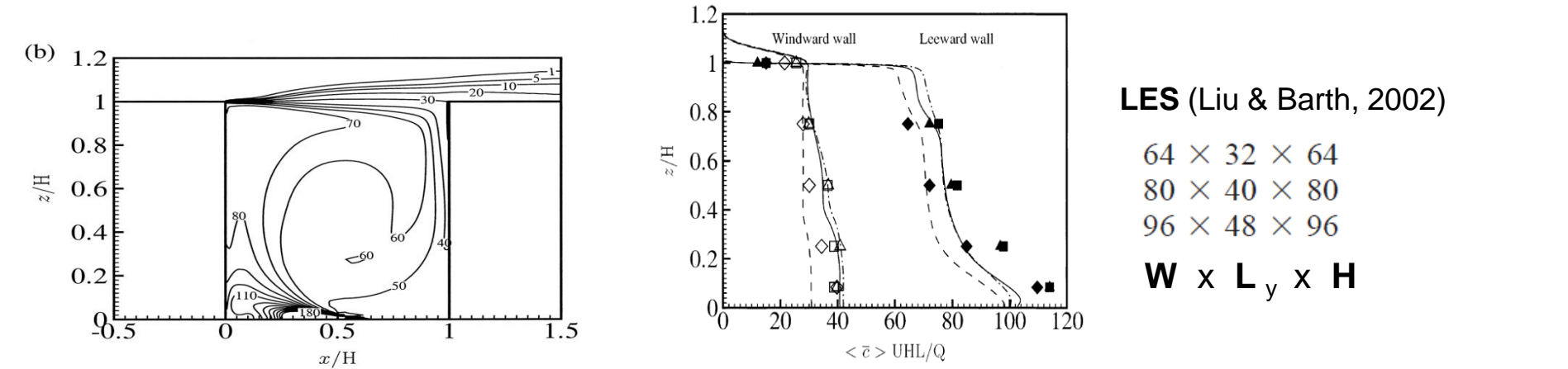
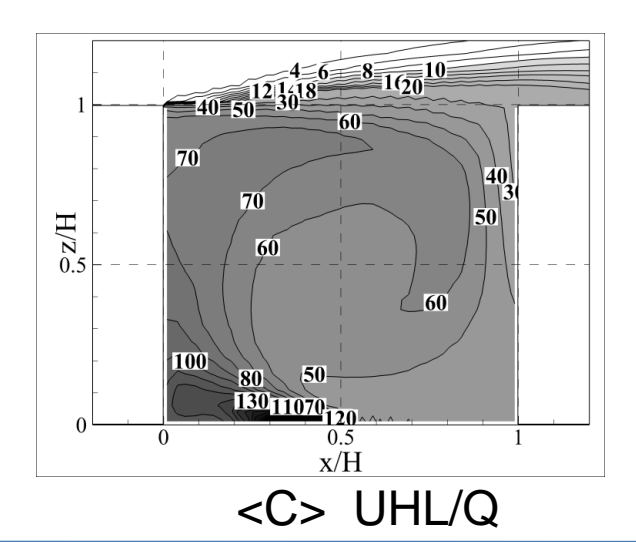


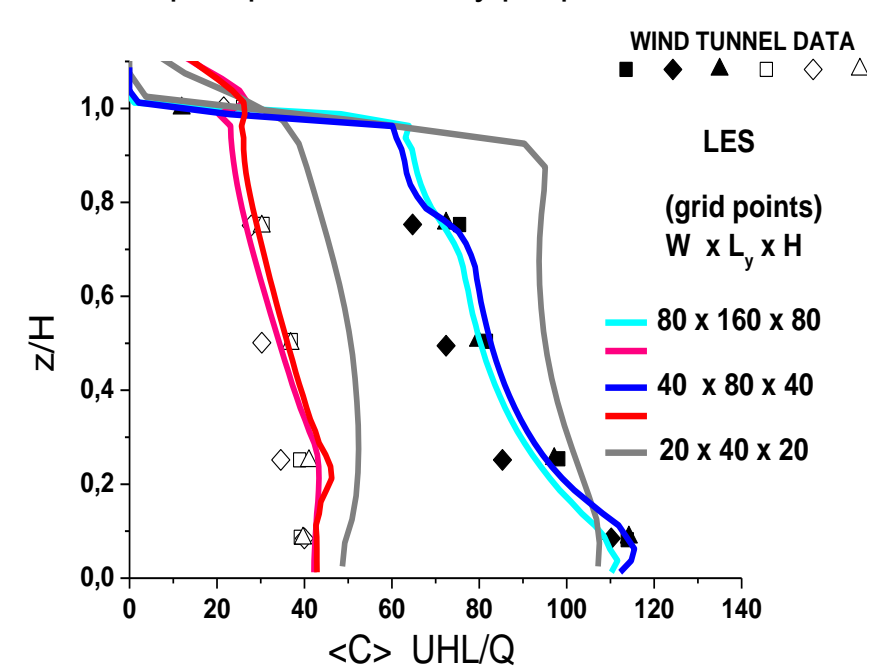
Fig. 1. Side view of the two-dimensional urban model (flow direction from left to right).



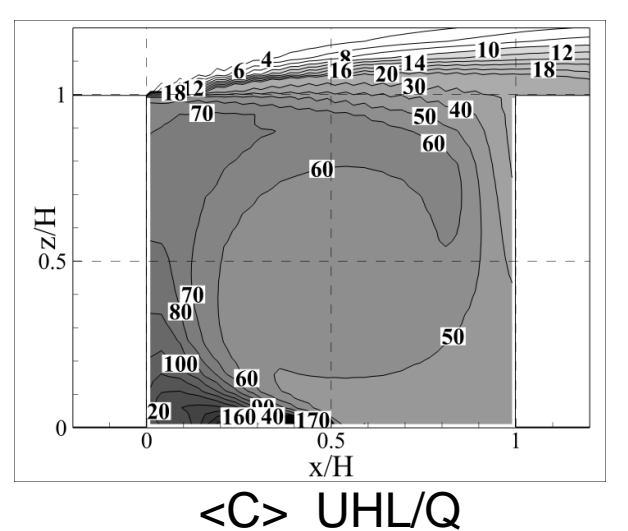
Re  $\sim$ 2\*10<sup>7</sup>, z<sub>0</sub>=0.025 m H=30 m



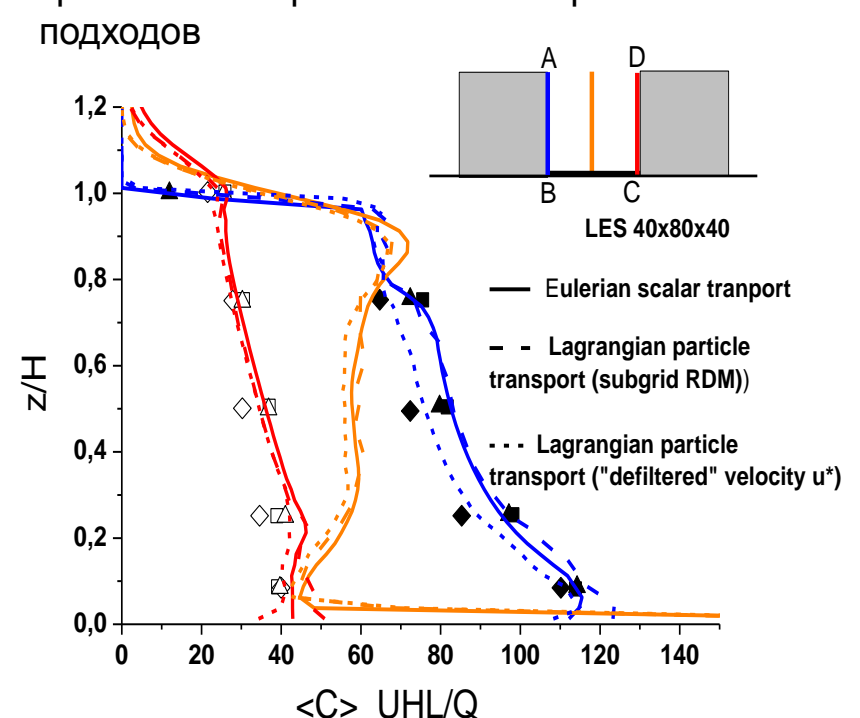
Проверка чувствительности модели к пространственному разрешению



### Re =18 000, условие прилипания на стенках, вязкий подслой



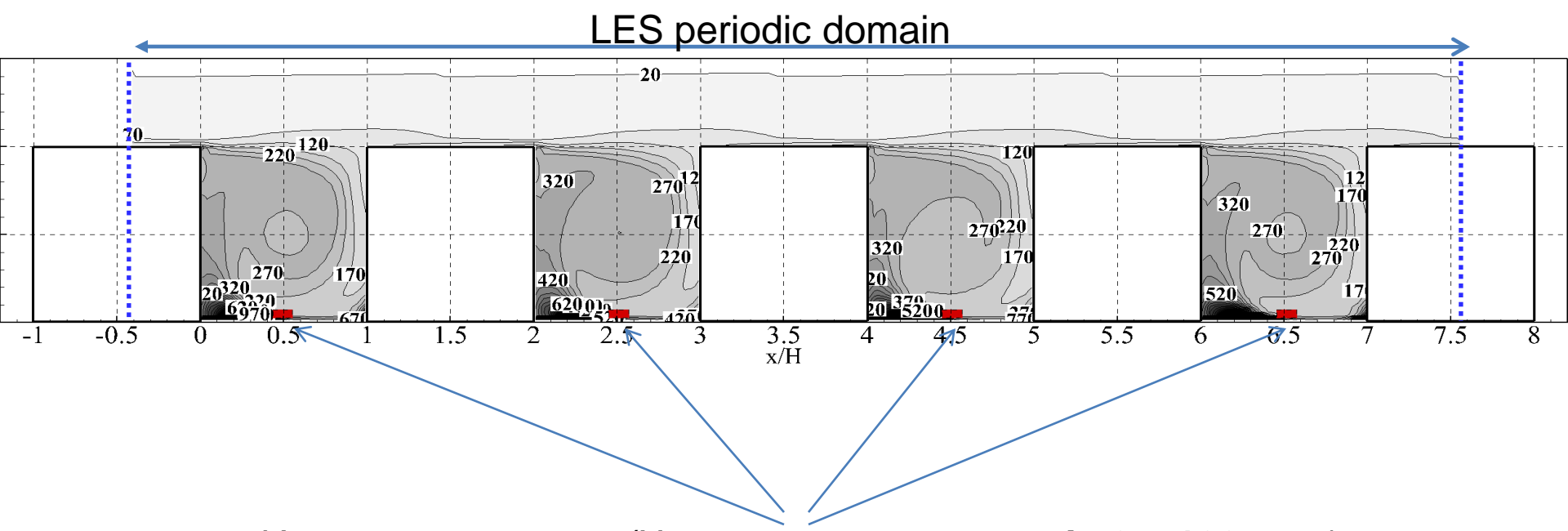
Сравнение Лагранжева и Эйлерова



## Перенос тяжелых частиц в городском каньоне

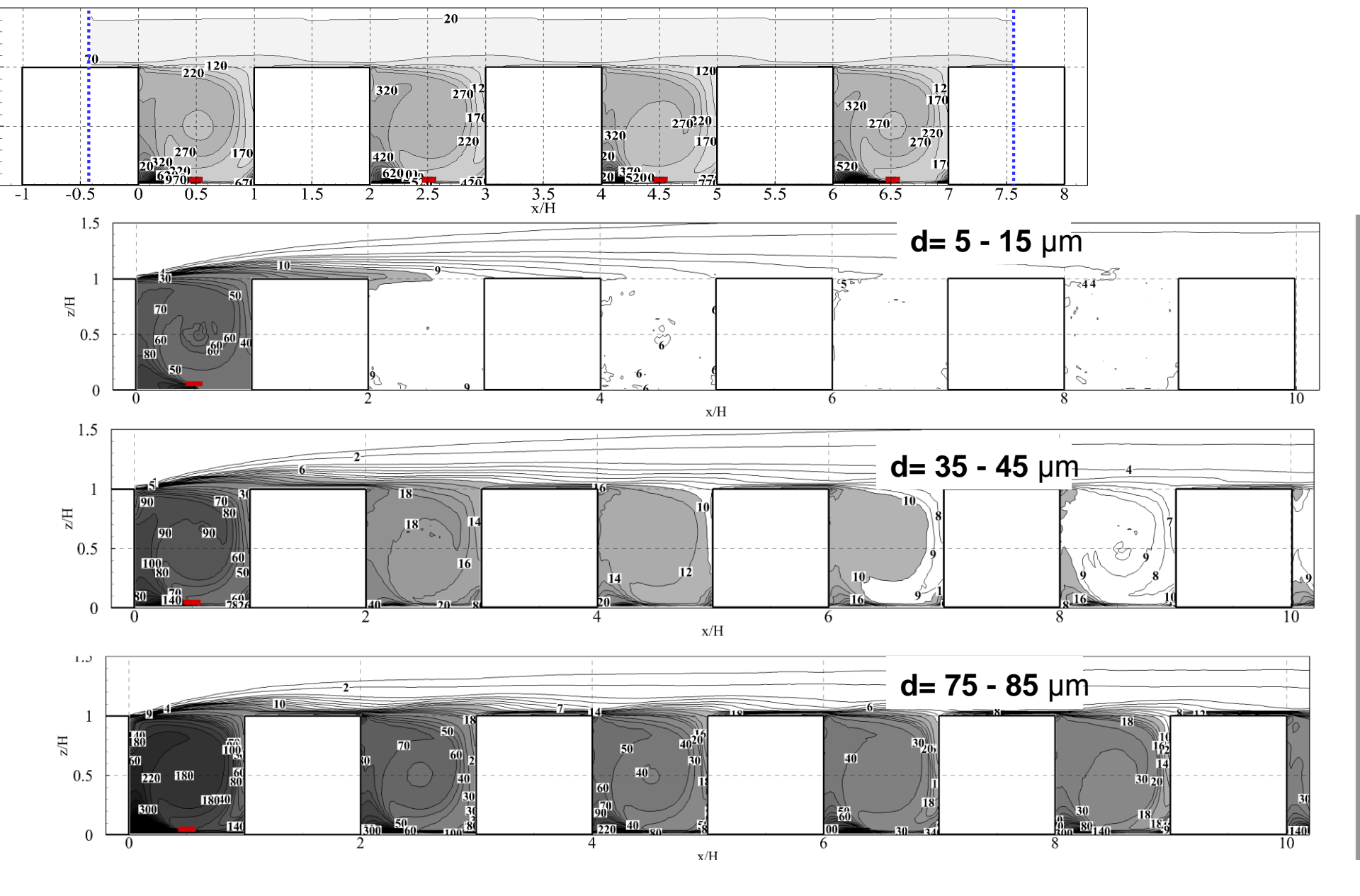
Carbon spherical particles ( $\rho_p$ =2000 kg/m³ , d= 0 - 100\*10<sup>-6</sup> µm ) U\*=0.5 m/s, H=30 m, W = 30 m, L = 30 m, air kinematic viscosity 1.3E-5 m^2/s Re\_flow ~ 2\*10^7 Re\_particle < 100

Particle falling terminal velocity  $U_t/U^* \le 1$  (less than mean air velocity inside cavity)



Источники примеси (Частицы с размерами **d= 0 - 100** µm )

LES + лагранжева стохастическая подсеточная модель



Перенос тяжелых частиц (пыли, сажи)в городской среде может быть очень эффективным

# Модели турбулентных течений, разработанные в ИВМ РАН и НИВЦ МГУ

	Отличительные особенности (вычислительные методы и параметризации)	Возможности	Программная реализация и параллельные вычислительные технологии
DNS	Метод погруженной границы. Консервативные конечно-	Моделирование течений в областях сложной конфигурации, в том числе с подвижной границей.  Решение модельных задач для исследования фундаментальных свойств турбулентности.	C++ MPI OpenMP CUDA
LES	разностные схемы высокого порядка точности.  Динамическая подсеточная модель.  Блок расчета Лагранжевых трассеров.	Моделирование стратифицированных турбулентных течений при очень больших числах Рейнольдса на достаточно грубых сетках без необходимости подбора параметров.  Изучение турбулентности и крупных организованных структур в ПСА.  Моделирование и изучение турбулентности в городской среде.  Задачи переноса примесей.	Fortran MPI
Перспектива:			

Перспектива:

объединение разработанных технологий в одном программном коде + неструктурированные сетки + RANS

Спасибо за внимание!